

---

# Traitement Numérique du Signal

## Méthodes Avancées

Nicolas Dobigeon

Université de Toulouse  
IRIT/INP-ENSEEIH

`http://www.enseeiht.fr/~dobigeon  
nicolas.dobigeon@enseeiht.fr`

## Pré-requis

### *Outils de représentation*

- ▶ Variable complexe et Transformée en  $z$
- ▶ Transformée de Laplace

### *Traitement Numérique du Signal - Base (TNS1)*

- ▶ Transformée de Fourier Discrète (TFD)
  - ▶ TFD pondérée
  - ▶ algorithme rapide
- ▶ Filtrage numérique
  - ▶ filtrage linéaire (filtres invariants, causaux)
  - ▶ filtres RIF et RII
  - ▶ synthèse directe des filtres RIF (fenêtrage)
  - ▶ synthèse des filtres RII
  - ▶ implantation (structures directe, canonique, cascade/série, parallèle)

## Bibliographie

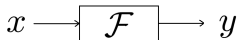
- ▶ M. Bellanger, *Traitement Numérique du Signal - Théorie et Pratique*, Masson, 1994.
- ▶ F. Castanie, *Traitement Numérique du Signal - Méthodes avancées*, Polycoché ENSEEIHT, 2002.
- ▶ B. Porat, *A course in digital signal processing*, Wiley, 1997.
- ▶ J. G. Proakis and D. Manolakis, *Digital Signal Processing - Principles, Algorithms and Applications*, Pearson, 1996.
- ▶ IEEEXplore Digital Library, <http://ieeexplore.ieee.org>.
- ▶ et tout le www...

## Exemples d'applications

- ▶ traitement du signal
  - ▶ débruitage, compression, détection,...
- ▶ traitement d'image
  - ▶ réhaussement de contour, compression,
  - ▶ notions de fréquence spatiale, de traitement 2D (voir 3D),...
- ▶ traitement d'antenne/de phase
  - ▶ notion de front d'onde,
- ▶ télécommunications numériques (e.g., mobiles)
  - ▶ notions de multi-trajet, d'égalisation,

⇒ Nécessité d'*implanter* les filtres LIT !

## Filtrage linéaire invariant dans le temps (LIT)



### Propriétés

- ▶ Linéarité :

$$\begin{aligned}\mathcal{F}[ax_1(n) + bx_2(n)] &= a\mathcal{F}[x_1(n)] + b\mathcal{F}[x_2(n)] \\ &= ay_1(n) + by_2(n).\end{aligned}$$

### Condition nécessaire et suffisante :

$$\exists h(n, k) = \mathcal{F}[\delta(n - k)] \quad \text{tel que} \quad y(n) = \sum_{k=-\infty}^{+\infty} x(k)h(n, k)$$

- ▶ Invariance dans le temps :

$$\forall n_0, y(n) = \mathcal{F}[x(n)] \Leftrightarrow y(n - n_0) = \mathcal{F}[x(n - n_0)]. \quad (1)$$

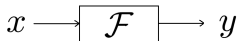
### Condition nécessaire et suffisante :

$$\forall n, \forall k, h(n, k) = h(n - k).$$

$\Rightarrow$  Filtre *linéaire invariant dans le temps* (LIT) caractérisé par sa réponse impulsionnelle  $h(k)$  ( $k \in \mathbb{Z}$ ) ou sa transmittance  $H(z) = \mathcal{TZ}[h(k)]$

$\Rightarrow$  L'opération de filtrage devient  $y(n) = \sum_k x(k)h(n - k) = h(n) * x(n)$  (convolution temporelle) ou  $Y(z) = H(z)X(z)$  (produit "fréquentiel").

## Filtrage linéaire invariant dans le temps (LIT)



### Propriétés

- ▶ Linéarité :

$$\begin{aligned}\mathcal{F}[ax_1(n) + bx_2(n)] &= a\mathcal{F}[x_1(n)] + b\mathcal{F}[x_2(n)] \\ &= ay_1(n) + by_2(n).\end{aligned}$$

### Condition nécessaire et suffisante :

$$\exists h(n, k) = \mathcal{F}[\delta(n - k)] \quad \text{tel que} \quad y(n) = \sum_{k=-\infty}^{+\infty} x(k)h(n, k)$$

- ▶ Invariance dans le temps :

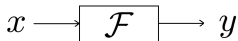
$$\forall n_0, y(n) = \mathcal{F}[x(n)] \Leftrightarrow y(n - n_0) = \mathcal{F}[x(n - n_0)]. \quad (1)$$

### Condition nécessaire et suffisante :

$$\forall n, \forall k, h(n, k) = h(n - k).$$

$\Rightarrow$  Filtre *linéaire invariant dans le temps* (LIT) caractérisé par sa réponse impulsionnelle  $h(k)$  ( $k \in \mathbb{Z}$ ) ou sa transmittance  $H(z) = \mathcal{TZ}[h(k)]$   
 $\Rightarrow$  L'opération de filtrage devient  $y(n) = \sum_k x(k)h(n - k) = h(n) * x(n)$  (convolution temporelle) ou  $Y(z) = H(z)X(z)$  (produit "fréquentiel").

## Filtrage linéaire invariant dans le temps (LIT)



### Propriétés

- ▶ Linéarité :

$$\begin{aligned}\mathcal{F}[ax_1(n) + bx_2(n)] &= a\mathcal{F}[x_1(n)] + b\mathcal{F}[x_2(n)] \\ &= ay_1(n) + by_2(n).\end{aligned}$$

### Condition nécessaire et suffisante :

$$\exists h(n, k) = \mathcal{F}[\delta(n - k)] \quad \text{tel que} \quad y(n) = \sum_{k=-\infty}^{+\infty} x(k)h(n, k)$$

- ▶ Invariance dans le temps :

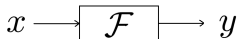
$$\forall n_0, y(n) = \mathcal{F}[x(n)] \Leftrightarrow y(n - n_0) = \mathcal{F}[x(n - n_0)]. \quad (1)$$

### Condition nécessaire et suffisante :

$$\forall n, \forall k, h(n, k) = h(n - k).$$

$\Rightarrow$  Filtre *linéaire invariant dans le temps* (LIT) caractérisé par sa réponse impulsionnelle  $h(k)$  ( $k \in \mathbb{Z}$ ) ou sa transmittance  $H(z) = \mathcal{TZ}[h(k)]$   
 $\Rightarrow$  L'opération de filtrage devient  $y(n) = \sum_k x(k)h(n - k) = h(n) * x(n)$  (convolution temporelle) ou  $Y(z) = H(z)X(z)$  (produit "fréquentiel").

## Filtrage linéaire invariant dans le temps (LIT)



### Propriétés

- ▶ Linéarité :

$$\begin{aligned}\mathcal{F}[ax_1(n) + bx_2(n)] &= a\mathcal{F}[x_1(n)] + b\mathcal{F}[x_2(n)] \\ &= ay_1(n) + by_2(n).\end{aligned}$$

### Condition nécessaire et suffisante :

$$\exists h(n, k) = \mathcal{F}[\delta(n - k)] \quad \text{tel que} \quad y(n) = \sum_{k=-\infty}^{+\infty} x(k)h(n, k)$$

- ▶ Invariance dans le temps :

$$\forall n_0, y(n) = \mathcal{F}[x(n)] \Leftrightarrow y(n - n_0) = \mathcal{F}[x(n - n_0)]. \quad (1)$$

### Condition nécessaire et suffisante :

$$\forall n, \forall k, h(n, k) = h(n - k).$$

$\Rightarrow$  Filtre *linéaire invariant dans le temps* (LIT) caractérisé par sa réponse impulsionnelle  $h(k)$  ( $k \in \mathbb{Z}$ ) ou sa transmittance  $H(z) = \mathcal{TZ}[h(k)]$

$\Rightarrow$  L'opération de filtrage devient  $y(n) = \sum_k x(k)h(n - k) = h(n) * x(n)$  (convolution temporelle) ou  $Y(z) = H(z)X(z)$  (produit "fréquentiel").



## Plan du cours

### Optimisation

- Synthèse non-optimale d'un filtre RIF
- Synthèse non-optimale d'un filtre RII
- Méthodes d'optimisation
- Stabilisation des solutions

### Effets numériques

- Quelques rappels
- Quantification de l'entrée
- Quantification des coefficients
- Quantification des calculs

### Structures non-standards

- Structures treillis/échelle
- Structures "rationnelles"
- Structures multi-cadences

## Plan du cours

### Optimisation

- Synthèse non-optimale d'un filtre RIF

  - Synthèse directe

  - Échantillonnage en fréquence

- Synthèse non-optimale d'un filtre RII

  - Synthèse directe

  - Approximants de Padé

- Méthodes d'optimisation

  - Méthode des moindres carrés

  - Algorithme de Remez

  - Filtres propres

- Stabilisation des solutions

### Effets numériques

### Structures non-standards

## Plan du cours

### Optimisation

- Synthèse non-optimale d'un filtre RIF

  - Synthèse directe

  - Échantillonnage en fréquence

- Synthèse non-optimale d'un filtre RII

  - Synthèse directe

  - Approximants de Padé

- Méthodes d'optimisation

  - Méthode des moindres carrés

  - Algorithme de Remez

  - Filtres propres

- Stabilisation des solutions

### Effets numériques

### Structures non-standards

## Quelques rappels sur les RIF

- ▶ Caractérisés par une réponse impulsionnelle finie :

$$h(k) = \begin{cases} b_k, & k = 0, \dots, M \\ 0, & \text{sinon.} \end{cases}$$

- ▶ Transmittance correspondante :

$$H(z) = \sum_{k=0}^M b_k z^{-k} = \sum_{k=0}^M h(k) z^{-k}$$

- ▶ Propriétés

- ▶ calcul non récursif
  - stabilité, faible sensibilité numérique
- ▶ phase linéaire possible si symétrie de la RI

$$h(k) = \pm h(M - k), \quad k = 0, \dots, M, \quad (\text{suivant parité de } M)$$

## Synthèse directe (rappel)

Soit  $H_I(z)|_{z=e^{i2\pi f}}$  la transmittance idéale en fréquence.

- ▶ Développement en série de Fourier de  $H_I(e^{i2\pi f}) \rightarrow$  RI

$$H_I(e^{i2\pi f}) = \sum_{k=-\infty}^{+\infty} c_k e^{i2\pi f k}$$

avec  $c_k = h_I(k) \propto \int_{-1/2}^{1/2} H_I(e^{i2\pi f}) e^{-i2\pi f k} df$

- ▶ Troncature fenêtrée de la RI (ordre du filtre fixé à  $M = 2L + 1$ ),

$$h_0(k) = h_I(k)w(k), \quad k = -L, \dots, L$$

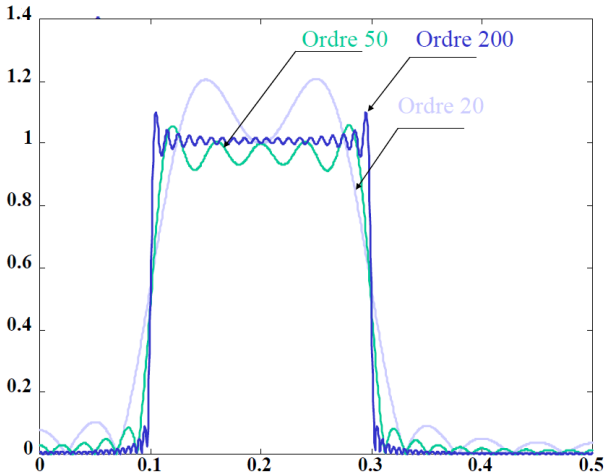
*Étapes facultatives* : "Itérations" (ordre  $M$  et fenêtre  $w(\cdot)$ ),

- ▶ Décalage de la RI pour la rendre causale

$$h_N(k) = h_0(k - k_0) \quad (\text{avec } k_0 \geq L)$$

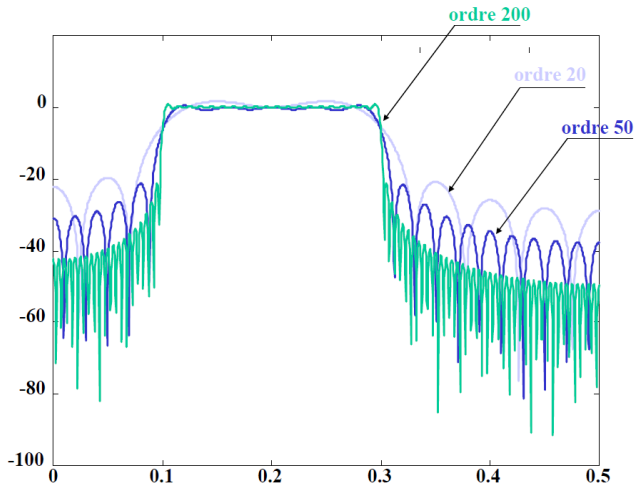
## Synthèse directe (rappel)

*Influence de l'ordre (fenêtre naturelle)*

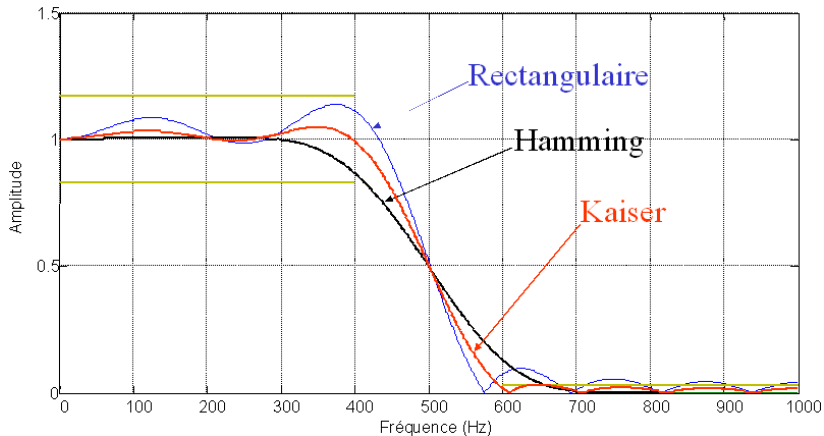


## Synthèse directe (rappel)

*Influence de l'ordre (fenêtre naturelle)*



## Synthèse directe (rappel)

*Influence de la fenêtre (ordre fixé  $M = 22$ )*



## Échantillonnage en fréquence

Soit un filtre RIF dont la transmittance  $H_I(z)$  est spécifiée en  $(M + 1)$  points  $z_0, \dots, z_M$ .

- ▶  $\mathcal{H} = \{H_I(z_0), \dots, H_I(z_M)\}$  est l'ensemble des contraintes (fortes).
- ▶ Soit l'approximation polynômiale (d'ordre  $M$ )

$$H(z) = \sum_{n=0}^M L_n(z) H_I(z_n) \quad \text{avec} \quad L_n(z_m) = \delta(m - n)$$

*Remarque* : on a bien  $H(z_m) = H_I(z_m) (\forall m)$

- ▶ Le polynôme de Lagrange (unique) est

$$L_n(z) = \prod_{m \neq n}^M \frac{1 - z^{-1}z_m}{1 - z_n^{-1}z_m}$$

## Échantillonnage en fréquence

- ▶  $H_I(z)$  est réécrit

$$H(z) = \left[ \prod_{n=0}^M (1 - z_n z^{-1}) \right] \left[ \sum_{m=0}^M \frac{A_m}{1 - z_m z^{-1}} \right]$$

avec

$$A_m = \frac{H_I(z_m)}{\prod_{n \neq m} (1 - z_n z_m^{-1})}$$

- ▶ Si les contraintes  $\mathcal{H}$  sont spécifiées en des points équidistants sur le cercle unité  $z_n = e^{i2\pi \frac{n}{M+1}}$  alors on obtient

$$H(z) = \left[ \frac{1 - z^{M+1}}{M+1} \right] \underbrace{\left[ \sum_{m=0}^M \underbrace{H_I \left( e^{i2\pi \frac{m}{M+1}} \right)}_{\text{Gain}} \underbrace{\frac{1}{1 - e^{i2\pi \frac{m}{M+1}} z^{-1}}}_{\text{Cellule 1er ordre}} \right]}_{\text{Mise en parallèle de cellules du 1er ordre}}$$

## Plan du cours

### Optimisation

Synthèse non-optimale d'un filtre RIF

Synthèse directe

Échantillonnage en fréquence

**Synthèse non-optimale d'un filtre RII**

Synthèse directe

Approximants de Padé

Méthodes d'optimisation

Méthode des moindres carrés

Algorithme de Remez

Filtres propres

Stabilisation des solutions

### Effets numériques

### Structures non-standards

## Quelques rappels sur les RII

- ▶ Caractérisés par une récurrence linéaire à coefficients constants :

$$y(n) = - \sum_{k=1}^M a_k y(n-k) + \sum_{k=1}^M b_k x(n-k)$$

où  $\exists j \in \{1, \dots, M\}$  tel que  $a_j \neq 0$  (avec  $a_0 = 1$ ),

- ▶ Transmittance correspondante :

$$H(z) = \frac{\sum_{k=0}^M b_k z^{-k}}{\sum_{k=0}^M a_k z^{-k}} = \sum_{k=-\infty}^{+\infty} h(k) z^{-k}$$

- ▶ Propriétés : performants ( $\approx$  sélectifs) mais
  - ▶ (in)stabilité définie par la position des pôles
  - ▶ sensibilité numérique (propagation des erreurs)
  - ▶ temps de propagation de groupe non constant

## Synthèse directe (rappel)

Soit la transmittance idéale en fréquence  $H_I(z)|_{z=e^{i2\pi f}}$

- ▶ Choix de la caractéristique
  - ▶ conservation de la réponse temporelle

## Synthèse directe (rappel)

Soit la transmittance idéale en fréquence  $H_I(z)|_{z=e^{i2\pi f}}$

- ▶ Choix de la caractéristique
  - ▶ conservation de la réponse temporelle
  - ▶ conservation de la réponse harmonique
- ▶ Calcul d'un gabarit analogique à l'aide de la transformation

$$f_A = \frac{f_E}{\pi} \tan\left(\pi \tilde{f}_N\right)$$

- ▶ Synthèse de  $H_A(p)$  ( $p = i2\pi f_A$ ) satisfaisant la gabarit analogique (choix de l'ordre, du prototype...)
- ▶ Retour au plan en  $Z$  par transformation bilinéaire

$$p = 2f_E \frac{1 - z^{-1}}{1 + z^{-1}}$$

## Approximants de Padé

- ▶ On se propose d'approcher la transmittance idéale

$H_I(z) = \sum_{k=-\infty}^{+\infty} h(k)z^{-k}$  par l'approximant rationnel

$$G_{m,n}(z) = \frac{B_m(z)}{A_n(z)} = \frac{\sum_{k=0}^m b_k z^{-k}}{\sum_{k=0}^n a_k z^{-k}}, \quad \text{avec } u_0 = 1$$

où  $B_n(\cdot)$  et  $A_m(\cdot)$  sont des polynômes de degrés  $n$  et  $m$ , resp.

- ▶ On développe  $G_{m,n}(z)$  en série

$$G_{m,n}(z) = \sum_{k=-\infty}^{+\infty} g(k)z^{-k}$$

et on impose

$$g(k) = \begin{cases} h(k), & \text{pour } k = 0, \dots, n + m; \\ \text{quelconque}, & \text{pour } k \geq n + m + 1 \end{cases}$$

## Approximants de Padé

- ▶ Si on écrit

$$G_{m,n}(z) = \frac{\sum_{k=0}^m b_k z^{-k}}{\sum_{k=0}^n a_k z^{-k}} = \sum_{k=0}^{m+n} h(k) z^{-k} + O\left(z^{-(n+m+1)}\right)$$

il vient

$$\underbrace{\sum_{k=0}^m b_k z^{-k}}_{\text{degré } m} = \underbrace{\sum_{k=0}^{2n+m} c_k z^{-k}}_{\text{degré } 2n+m} + \epsilon \quad \text{avec} \quad c_k = \sum_{j=0}^{\inf(k,n)} a_j h(k-j)$$

- ▶ Nécessairement

$$c_k = 0 \quad \forall k \in \{m+1, \dots, 2n+m\},$$

- ▶ On annule tous les termes  $c_k$  pour  $k = m+1, \dots, 2n+m$ ,



## Approximants de Padé

- Avec  $a_0 = 1$ , on obtient le système linéaire

$$\underbrace{\begin{pmatrix} h(m+1) & \dots & h(m-n+2) \\ h(m+2) & \dots & h(m-n+3) \\ \vdots & & \vdots \\ h(m+n) & \dots & h(m+1) \end{pmatrix}}_{\mathbf{H}_1} \underbrace{\begin{pmatrix} a_1 \\ a_2 \\ \vdots \\ a_n \end{pmatrix}}_{\mathbf{a}} = - \underbrace{\begin{pmatrix} h(m+2) \\ h(m+3) \\ \vdots \\ h(m+n+1) \end{pmatrix}}_{\mathbf{h}}$$

et

$$\underbrace{\begin{pmatrix} h(0) & 0 & \dots & 0 \\ h(1) & h(0) & \dots & 0 \\ \vdots & \vdots & \ddots & 0 \\ h(m) & h(m-1) & \dots & h(0) \end{pmatrix}}_{\mathbf{H}_2} \underbrace{\begin{pmatrix} 1 \\ a_1 \\ \vdots \\ a_n \end{pmatrix}}_{\mathbf{a}_2} = \underbrace{\begin{pmatrix} b_0 \\ b_1 \\ \vdots \\ b_m \end{pmatrix}}_{\mathbf{b}}$$

ce qui conduit à  $\mathbf{a} = -\mathbf{H}_1^{-1}\mathbf{h}$  puis  $\mathbf{b} = \mathbf{H}_2\mathbf{a}_2$

## Approximants de Padé

### Quelques remarques

- ▶ A ordres  $n$  et  $m$  fixés, s'il existe<sup>1</sup>, le couple  $\{A_n, B_m\}$  est **unique**<sup>2</sup> (avec  $a_0 = 1$ ), parfois noté  $[m/n]$  (mais la fraction  $B_m(z)/A_n(z)$  n'est pas forcément irréductible).
- ▶ Les approximants de Padé  $G_{n,m} = B_m/A_n$  sont regroupés dans la table de Padé indiquée par  $n$  et  $m$ .
- ▶ Les matrices  $\mathbf{H}_1$  et  $\mathbf{H}_2$  sont Toeplitz et Toeplitz inférieure pour lesquelles il existe des algorithmes rapides de calcul (inversion, multiplication).
- ▶ L'approximant  $G_{m,n}(z)$  et la transmittance cible  $H_1(z)$  ont des RI qui coïncident exactement sur leurs  $(n + m + 1)$  premiers points respectifs. Au delà, rien n'est imposé.  
→ **Instabilité possible de l'approximant !**

### Voir aussi :

- ▶ C. S. Burrus, T. W. Parks, "Time Domain Design of Recursive Digital Filters", *IEEE Trans. Audio Electroacoustics*, vol. AU-18, no. 2, June 1970.

---

<sup>1</sup>CS :  $\det \mathbf{H}_1 \neq 0$ .

<sup>2</sup>Frobenius, 1881.

## Plan du cours

### Optimisation

Synthèse non-optimale d'un filtre RIF

Synthèse directe

Échantillonnage en fréquence

Synthèse non-optimale d'un filtre RII

Synthèse directe

Approximants de Padé

**Méthodes d'optimisation**

Méthode des moindres carrés

Algorithme de Remez

Filtres propres

Stabilisation des solutions

### Effets numériques

### Structures non-standards

## Principe général

Soit  $H_I(f)$  la transmittance idéale en fréquence.

- ▶ On introduit un vecteur paramètre  $\theta$  qui décrit complètement le filtre numérique  $H_N(f)$  (RIF ou RII) recherché d'ordre  $M$ ,
- ▶ On définit l'erreur de synthèse  $e(f) = H_I(f) - H_N(f)$ ,
- ▶ Si les contraintes spécifiées ne sont pas identiques dans toutes les bandes de fréquences, introduction d'une fonction de pondération  $P(f)$

$$e_P(f) = P(f) [H_I(f) - H_N(f)],$$

et du critère d'erreur "globale" associé

$$J_{e_P}(\theta) = \|e_P(f)\|,$$

- ▶ On va chercher  $\theta^{\text{opt}}$  solution de

$$\theta^{\text{opt}} = \underset{\theta \in \Theta}{\operatorname{argmin}} J_{e_P}(\theta)$$

*Remarques :*

- ▶  $H_N^{\text{opt}}(f)$  peut ne pas satisfaire le gabarit  $\rightarrow$  on itère avec  $M + 1$ ,
- ▶  $\theta$  dépend de la structure de synthèse choisie.

- ▶ Structure directe :

$$H_N(z) = \frac{\sum_{k=0}^M b_k z^{-k}}{\sum_{k=0}^M a_k z^{-k}}, \quad (\text{avec } a_0 = 1)$$

$$\rightarrow \theta_D = [a_1, \dots, a_M, b_0, \dots, b_M]^T$$

- ▶ Structure série (avec regroupement des racines complexes conjuguées) :

$$H_N(z) = b_0 \frac{\prod_{k=1}^M (1 - z_k z^{-1})}{\prod_{k=1}^M (1 - p_k z^{-1})} = b_0 \prod_{k=1}^K H_k(z), \quad (\text{avec } \frac{M}{2} \leq K \leq M)$$

où  $H_k(z) = \frac{1+b_{k,1}z^{-1}+b_{k,2}z^{-2}}{1+a_{k,1}z^{-1}+a_{k,2}z^{-2}}$  sont des structures bi-quadratiques,

$$\rightarrow \theta_S = \{\theta_{S,1}, \dots, \theta_{S,K}\} \text{ avec } \theta_{S,k} = [a_{k,1}, a_{k,2}, b_{k,1}, b_{k,2}]^T$$

- ▶ Structure parallèle (avec existence de pôles simples) :

$$H_N(z) = c + \sum_{k=1}^K H_k(z),$$

où  $H_k(z) = \frac{1+b_{k,1}z^{-1}}{1+a_{k,1}z^{-1}+a_{k,2}z^{-2}}$  sont des structures bi-quadratiques,

$$\rightarrow \theta_P = \{\theta_{P,1}, \dots, \theta_{P,K}\} \text{ avec } \theta_{P,k} = [a_{k,1}, a_{k,2}, b_{k,1}]^T$$

## Principe général

Soit  $H_I(f)$  la transmittance idéale en fréquence.

- ▶ On introduit un vecteur paramètre  $\theta$  qui décrit complètement le filtre numérique  $H_N(f)$  (RIF ou RII) recherché d'ordre  $M$ ,
- ▶ On définit l'erreur de synthèse  $e(f) = H_I(f) - H_N(f)$ ,
- ▶ Si les contraintes spécifiées ne sont pas identiques dans toutes les bandes de fréquences, introduction d'une fonction de pondération  $P(f)$

$$e_P(f) = P(f) [H_I(f) - H_N(f)],$$

et du critère d'erreur associé

$$J_{e_P}(\theta) = \|e_P(f)\|,$$

- ▶ On va chercher  $\theta^{\text{opt}}$  solution de

$$\theta^{\text{opt}} = \underset{\theta \in \Theta}{\operatorname{argmin}} J_{e_P}(\theta)$$

*Remarques :*

- ▶  $H_N^{\text{opt}}(f)$  peut ne pas satisfaire le gabarit  $\rightarrow$  on itère avec  $M + 1$ ,
- ▶  $\theta$  dépend de la structure de synthèse choisie.

## Principe général

Soit  $H_I(f)$  la transmittance idéale en fréquence.

- ▶ On introduit un vecteur paramètre  $\theta$  qui décrit complètement le filtre numérique  $H_N(f)$  (RIF ou RII) recherché d'ordre  $M$ ,
- ▶ On définit l'erreur de synthèse  $e(f) = H_I(f) - H_N(f)$ ,
- ▶ Si les contraintes spécifiées ne sont pas identiques dans toutes les bandes de fréquences, introduction d'une fonction de pondération  $P(f)$

$$e_P(f) = P(f) [H_I(f) - H_N(f)],$$

et du critère d'erreur associé

$$J_{e_P}(\theta) = \|e_P(f)\|,$$

- ▶ On va chercher  $\theta^{\text{opt}}$  solution de

$$\theta^{\text{opt}} = \underset{\theta \in \Theta}{\operatorname{argmin}} J_{e_P}(\theta)$$

Remarques :

- ▶  $H_N^{\text{opt}}(f)$  peut ne pas satisfaire le gabarit  $\rightarrow$  on itère avec  $M + 1$ ,
- ▶  $\theta$  dépend de la structure de synthèse choisie.

*Quel choix pour la norme ?*

Norme  $\ell_2$  : méthode des moindres carrés

- ▶ Soit le terme d'erreur évaluée en  $N_0$  points fréquentiels

$$e_P(f_n) = P(f_n) [H_I(f_n) - H_N(f_n)], \quad n = 0, \dots, N_0 - 1,$$

- ▶ Le critère s'écrit

$$J_{e_P}(\boldsymbol{\theta}) = \|\mathbf{e}_P\|_2^2 = \sum_{n=0}^{N_0-1} P^2(f_n) [H_I(f_n) - H_N(f_n)]^2,$$

où  $\mathbf{e}_P = [e_P(f_0), \dots, e_P(f_{N_0-1})]^T$ ,

- ▶ hypothèse : on a une solution initiale non-optimale  $\boldsymbol{\theta}^{(0)} \rightarrow$  optimisation locale.
- ▶ A partir de la solution  $\boldsymbol{\theta}^{(0)}$ , on cherche l'accroissement  $\Delta\boldsymbol{\theta}$  tel que

$$\Delta\boldsymbol{\theta} = \underset{\Delta\boldsymbol{\theta} \in \Theta}{\operatorname{argmin}} J_{e_P}(\boldsymbol{\theta}^{(0)} + \Delta\boldsymbol{\theta})$$



Norme  $\ell_2$  : méthode des moindres carrés

- ▶ On développe le critère  $J_{ep}(\boldsymbol{\theta}^{(0)} + \Delta\boldsymbol{\theta})$  à l'ordre 1

$$J_{ep}(\boldsymbol{\theta}^{(0)} + \Delta\boldsymbol{\theta}) = J_{ep}(\boldsymbol{\theta}^{(0)}) + \sum_{j=0}^{N-1} \frac{\partial J_{ep}}{\partial \theta_j} \Delta\theta_j$$

et on annule toutes les coordonnées du gradient  $\nabla J_{ep}$ :

$$\frac{\partial J_{ep}}{\partial \theta_k} + \sum_{j=0}^{N-1} \frac{\partial^2 J_{ep}}{\partial \theta_k \partial \theta_j} \Delta\theta_j = 0, \quad k = 0, \dots, N-1$$

- ▶ On obtient le système linéaire

$$\mathbf{E}_1 \mathbf{P} \mathbf{e} + \mathbf{E}_1 \mathbf{P} \mathbf{E}_1^T \Delta\boldsymbol{\theta} = 0$$

avec

$$\mathbf{e} = [e(f_0), \dots, e(f_{N_0-1})]^T, \quad \mathbf{E}_1 = \left[ \frac{\partial e(f_n)}{\partial \theta_k} \right]_{k,n} \quad \text{et} \quad \mathbf{P} = \text{diag} \left\{ P^2(f_n) \right\}.$$

## Norme $\ell_2$ : méthode des moindres carrés

- ▶ La solution est donnée par

$$\Delta\theta = - \left( \mathbf{E}_1 \mathbf{P} \mathbf{E}_1^T \right)^{-1} \mathbf{E}_1 \mathbf{P} \mathbf{e}.$$

Remarques :

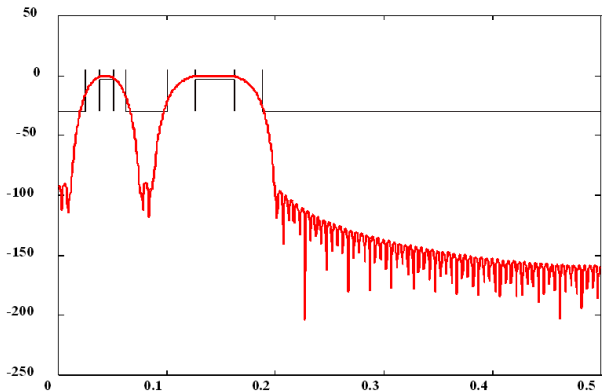
- ▶ méthode qui repose sur le calcul des quantités  $\frac{\partial e(f_n)}{\partial \theta_k}$ ,  
→ explicite pour la plupart des structures de synthèse,
- ▶ Bellanger<sup>3</sup> a mené le calcul pour un filtre RIF d'ordre  $N$  avec le vecteur de paramètre  $\theta = [H_1, \dots, H_{N-1}]^T$  où  $H_k = \text{TFD}[h(n)]$ ,
- ▶ pas de contrainte de stabilité de la solution,  
→ stabilité des solutions non garantie !

---

<sup>3</sup>M. Bellanger, *Traitement Numérique du Signal*, Masson, 1994.

## Norme $\ell_2$ : méthode des moindres carrés

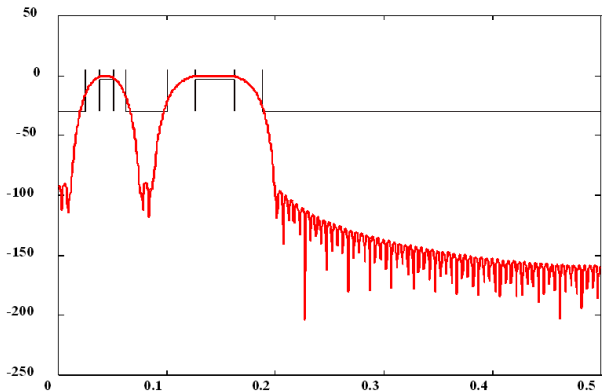
*Exemple de synthèse d'un RIF*



→ Flexibilité dans les bandes affaiblies non exploitée !

## Norme $\ell_2$ : méthode des moindres carrés

*Exemple de synthèse d'un RIF*



→ Flexibilité dans les bandes affaiblies non exploitée !

## Norme $\ell_\infty$ : algorithme de Remez

- Considérons un filtre RIF à phase linéaire

$$H_N(f) = \sum_{k=0}^{M-1} h_k \cos(2\pi fk),$$

- Le critère s'écrit pour  $\theta = [h_0, \dots, h_{M-1}]^T$

$$J_{e_P}(\theta) = \|e_P(f)\|_\infty = \sup_{f \in [0, \frac{1}{2}]} |P(f) [H_I(f) - H_N(f)]|,$$

*Propriété*

$\|e_P(f)\|_\infty$  est minimal sur un compact  $\mathcal{A} \in [0, \frac{1}{2}]$

$$\begin{aligned} & \Downarrow \\ & \exists (f_0, \dots, f_M) \in \mathcal{A}^{M+1}, \forall i \in \{1, \dots, M\}, \\ & e(f_i) = -e(f_{i-1}) = \pm\delta \text{ et } |e(f_i)| = \max_{f \in \mathcal{A}} |e(f)| = \delta \end{aligned}$$

i.e., existence de  $(M + 1)$  extrema :

$e(f_i)$  est un maximum,  $e(f_{i+1})$  est un minimum,...

Norme  $\ell_\infty$  : algorithme de Remez

- ▶ Si  $f_0, \dots, f_M$  connus alors  $\theta$  calculé par simple inversion matricielle :

$$\theta = \theta^{\text{opt}} \Leftrightarrow \{e(f_i) = \delta\}_i$$

→ On ne connaît pas  $f_0, \dots, f_{M-1}$  !

- ▶ Nouveau problème d'optimisation :

$$\{\delta, \mathbf{f}, \theta\} = \underset{\delta, \mathbf{f}, \theta}{\operatorname{argmin}} \left| P(f_i) [H_I(f_i) - H_N(f_i)] - (-1)^i \delta \right|_{i=0, \dots, M}$$

avec  $\mathbf{f} = (f_0, \dots, f_M)$ ,

- ▶ Minimisation alternée (algorithme itératif) :

$$\begin{aligned} \{\mathbf{f}^{(r)}\} &= \underset{\mathbf{f}}{\operatorname{argmin}} \left| P(\mathbf{f}) [H_I(\mathbf{f}) - H_N^{(r-1)}(\mathbf{f})] - (-1)^i \delta^{(r-1)} \right| \\ \{\delta^{(r)}, \theta^{(r)}\} &= \underset{\delta, \theta}{\operatorname{argmin}} \left| P(f_i^{(r)}) [H_I(f_i^{(r)}) - H_N(f_i^{(r)})] - (-1)^i \delta \right|_i \end{aligned}$$

## Norme $\ell_\infty$ : algorithme de Remez

A partir d'une solution non-optimale  $\theta^{(0)}$  et  $\delta^{(0)}$ , à l'itération  $r$

- ▶ calcul de l'erreur  $e_P^{(r-1)}(f) = P(f) [H_I(f) - H_N^{(r-1)}(f)]$ ,
- ▶ localisation des extrema de  $e_P^{(r-1)}(f)$ , i.e., de  $(f_0^{(r)}, \dots, f_M^{(r)})$  t.q.

$$e_P^{(r-1)}(f_i^{(r)}) > \delta^{(r-1)},$$

- ▶ calcul de  $\theta^{(r)}$  et  $\delta^{(r)}$  par résolution des  $(M+1)$  équations linéaires

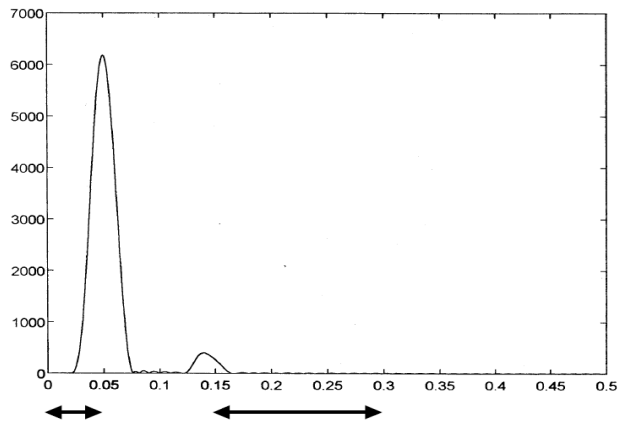
$$P(f_i^{(r)}) [H_I(f_i^{(r)}) - H_N^{(r)}(f_i^{(r)})] = \pm \delta^{(r)}$$

i.e., inversion du système

$$\begin{pmatrix} H_I(f_0^{(r)}) \\ \vdots \\ H_I(f_M^{(r)}) \end{pmatrix} = \begin{pmatrix} 1 & \cos(2\pi f_0^{(r)}) & \dots & \cos(2\pi f_0^{(r)}(M-1)) & \frac{(-1)^0}{P(f_0^{(r)})} \\ \vdots & \vdots & & \vdots & \vdots \\ 1 & \cos(2\pi f_M^{(r)}) & \dots & \cos(2\pi f_M^{(r)}(M-1)) & \frac{(-1)^M}{P(f_M^{(r)})} \end{pmatrix} \begin{pmatrix} h_0^{(r)} \\ \vdots \\ h_{M-1}^{(r)} \\ \delta^{(r)} \end{pmatrix}$$

## Norme $l_\infty$ : algorithme de Remez

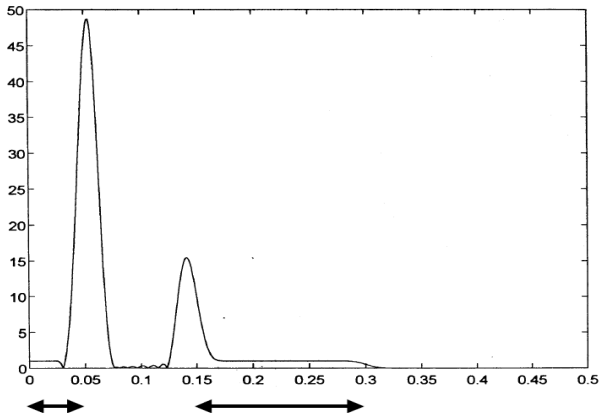
*Exemple de synthèse d'un RIF (itération 1)*





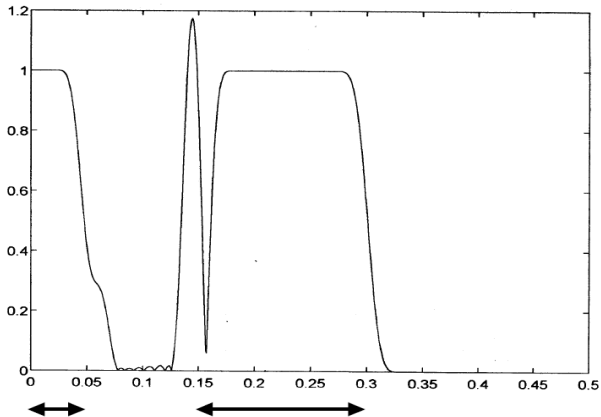
## Norme $l_\infty$ : algorithme de Remez

*Exemple de synthèse d'un RIF (itération 11)*



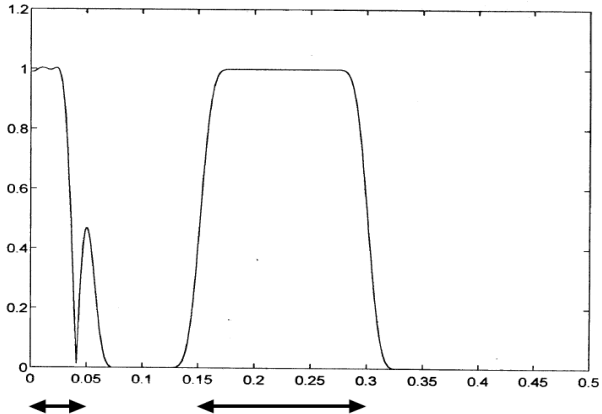
## Norme $l_\infty$ : algorithme de Remez

*Exemple de synthèse d'un RIF (itération 12)*



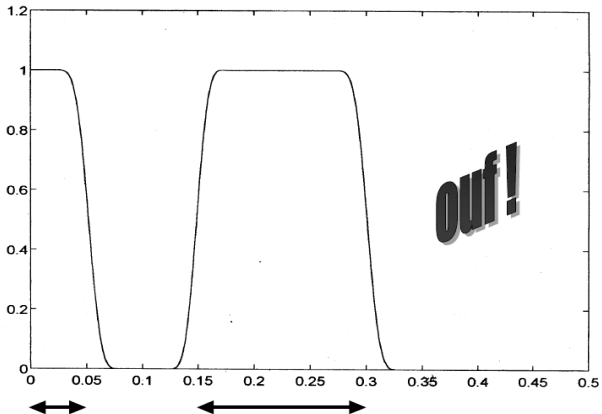
## Norme $l_\infty$ : algorithme de Remez

*Exemple de synthèse d'un RIF (itération 17)*



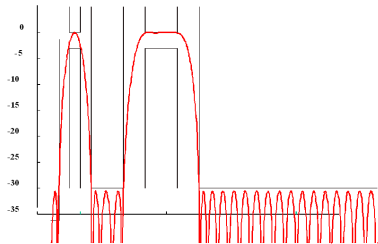
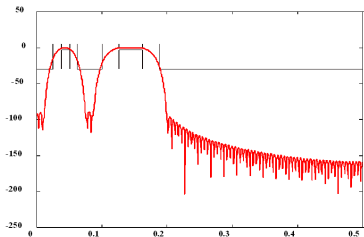
## Norme $l_\infty$ : algorithme de Remez

Exemple de synthèse d'un RIF (itération 21)



## Norme $l_\infty$ : algorithme de Remez

### Comparaison $l_2/l_\infty$



## Norme $\ell_\infty$ : algorithme de Remez

*Critères d'arrêt :*

- ▶ nombre d'itérations  $R$ ,
- ▶ erreur :  $\|e_p^R(f)\| < \text{seuil}$ ,
- ▶ évolution de l'erreur :  $\|e_p^{R-1}(f)\| - \|e_p^R(f)\| < \text{seuil}$ ,

*Avantages :*

- ▶ méthode optimale (!),
- ▶ ondulations d'amplitude constante en bandes passantes et affaiblies,
- ▶ ordre de filtre minimum,

*Inconvénients :*

- ▶ Coûteux en temps de calcul (méthode itérative, inversion matricielle),

## Norme $l_\infty$ : algorithme de Remez

A propos de la méthode de synthèse :

- ▶ convergence de l'algorithme non démontrée,  
→ comportement "correct" si initialisation "correcte"  
→ solution non-optimale nécessaire !
- ▶ algorithme codé sous Matlab,
- ▶ extension à la synthèse d'un filtre RII proposée par Bellanger<sup>4</sup>.

Quelques remarques plus générales :

- ▶ minimisation d'une norme  $l_\infty$  aussi appelée approximation au sens de Chebyshev,
- ▶ minimiser le max. de l'erreur : approximation de *minimax*,
- ▶ méthode générale d'approximation polynômiale,  
→ dans le cadre du TNS, algorithme de synthèse de *Parks-McClellan*<sup>5</sup>.

---

<sup>4</sup>M. Bellanger, *Traitement Numérique du Signal*, Masson, 1994.

<sup>5</sup>T. W. Parks *et al.*, "Chebyshev approximation for non recursive digital filters with linear phase", *IEEE. Trans. Circuit Theory*, vol. 19, no. 2, March 1972.

## Filtres propres (RIF)

- ▶ Considérons un filtre RIF à phase linéaire

$$H_N(f) = \sum_{k=0}^{M-1} h_k \cos(2\pi fk) = \boldsymbol{\theta}^T \mathbf{c}(f), \text{ avec } \mathbf{c}(f) = [\cos(2\pi fk)]_k,$$

- ▶ Le critère<sup>6</sup> s'écrit pour  $\boldsymbol{\theta} = [h_0, \dots, h_{M-1}]^T$

$$J_e(\boldsymbol{\theta}) = \|\mathbf{e}(f)\|_2^2 = \int_{f_1}^{f_2} |H_I(f) - H_N(f)|^2 df,$$

- ▶ Si le filtre idéal a une transmittance constante  $H_I(f_1) \approx \boldsymbol{\theta}^T \mathbf{c}(f_1)$  dans la bande  $[f_1, f_2]$ ,  $J_e(\boldsymbol{\theta})$  se réécrit

$$J_e(\boldsymbol{\theta}) = \int_{f_1}^{f_2} \left| \boldsymbol{\theta}^T \mathbf{c}(f_1) - \boldsymbol{\theta}^T \mathbf{c}(f) \right|^2 df = \boldsymbol{\theta}^T \mathbf{Q}_{\text{rif}} \boldsymbol{\theta}$$

$$\text{avec } \mathbf{Q}_{\text{rif}} = \int_{f_1}^{f_2} [\mathbf{c}(f_1) - \mathbf{c}(f)][\mathbf{c}(f_1) - \mathbf{c}(f)]^T df$$

---

<sup>6</sup>  $\|\cdot\|_2$  est la norme  $\ell_2$  au sens des fonctions dans  $C^0([f_1, f_2])$



## Filtres propres (RIF)

- ▶ Le problème de synthèse se résume à la recherche de

$$\theta^{\text{opt}} = \underset{\theta \in \Theta}{\operatorname{argmin}} J_e(\theta) \Leftrightarrow \theta^{\text{opt}} = \underset{\theta \in \Theta}{\operatorname{argmin}} \theta^T \mathbf{Q}_{\text{rif}} \theta$$

→ solution donnée par analyse du quotient de Rayleigh  $R_{\mathbf{Q}_{\text{rif}}}(\cdot)$  !

*Propriété* : Soient  $\mathbf{A}$  une matrice hermitienne et  $R_{\mathbf{A}}(\mathbf{x}) = \frac{\mathbf{x}^T \mathbf{A} \mathbf{x}}{\mathbf{x}^T \mathbf{x}}$  alors

$$\min_{\theta \in \Theta} R_{\mathbf{A}}(\mathbf{x}) = \lambda_{\min}$$

et

$$\mathbf{x}^{\text{opt}} = \underset{\theta \in \Theta}{\operatorname{argmin}} R_{\mathbf{A}}(\mathbf{x}) \Leftrightarrow \mathbf{x}^{\text{opt}} = \mathbf{v}_{\min}$$

où  $\mathbf{v}_{\min}$  est le vect. propre associé à la plus petite val. propre  $\lambda_{\min}$  de  $\mathbf{A}$ .

## Filtres propres (RII)

- ▶ Considérons un filtre RII de transmittance

$$H_N(z) = \frac{\sum_{k=0}^{M-1} b_k z^{-k}}{\sum_{k=0}^{M-1} a_k z^{-k}},$$

- ▶ Si  $x(n) = \delta(n)$  à l'entrée, on veut  $y(n) = h_I(n)$  (RI idéale) à la sortie<sup>7</sup> :

$$\sum_{k=0}^{M-1} b_k h_I(n-k) \approx \sum_{k=0}^{M-1} a_k \delta(n-k)$$

- ▶ L'erreur<sup>8</sup> s'écrit pour  $n = 0, \dots, N_0$ :

$$e(n) = \sum_{k=0}^{M-1} b_k h_I(n-k) - \sum_{k=0}^{M-1} a_k \delta(n-k),$$

<sup>7</sup>S.-C. Pei and J.-J. Shyu, "Design of 1-D and 2-D IIR Eigenfilters", *IEEE Trans. Signal Processing*, vol. 42, no. 4, April 1994.

<sup>8</sup>Attention :  $e(n) \neq h_I(n) - h_N(n)$  !

## Filtres propres (RII)

- ▶ On définit les vecteurs paramètre et erreur :

$$\boldsymbol{\theta} = [a_0, \dots, a_{M-1}, b_0, \dots, b_{M-1}]^T, \quad \mathbf{e} = [e(0), \dots, e(N_0)]^T$$

- ▶ Sous forme matricielle, on a

$$\mathbf{H}\boldsymbol{\theta} = \mathbf{e} \quad \text{où} \quad \mathbf{H} = \begin{pmatrix} \mathbf{H}_1 & -\mathbf{I} \\ \mathbf{H}_2 & \mathbf{0} \end{pmatrix},$$

avec

$$\mathbf{H}_1 = \begin{pmatrix} h_1(0) & 0 & \dots & 0 \\ h_1(1) & h_1(0) & \dots & 0 \\ \vdots & \vdots & \ddots & 0 \\ h_1(M-1) & h_1(M-2) & \dots & h_1(0) \end{pmatrix},$$

$$\mathbf{H}_2 = \begin{pmatrix} h_1(M) & h_1(M-1) & \dots & h_1(1) \\ h_1(M+1) & h_1(M) & \dots & h_1(2) \\ \vdots & \vdots & \dots & 0 \\ h_1(N_0) & h_1(N_0-1) & \dots & h_1(N_0-M+1) \end{pmatrix}.$$

## Filtres propres (RII)

- ▶ Le critère quadratique (pondéré) s'écrit :

$$J_{e_P}(\boldsymbol{\theta}) = \|\mathbf{e}_P\|_2^2 = \sum_{n=0}^{N_0} P^2(n)e^2(n),$$

avec  $\mathbf{e}_P = [e_P(0), \dots, e_P(N_0)]^T$  et  $e_P(n) = P(n)e(n)$ ,

- ▶ Or  $\|\mathbf{e}_P\|_2^2 = \mathbf{e}^T \mathbf{P} \mathbf{e}$  avec  $\mathbf{P} = \text{diag} \{ P^2(n) \}$  (et  $\mathbf{e} = \mathbf{H}\boldsymbol{\theta}$ ), d'où

$$J_{e_P}(\boldsymbol{\theta}) = \boldsymbol{\theta}^T \mathbf{Q}_{\text{rii}} \boldsymbol{\theta},$$

avec  $\mathbf{Q}_{\text{rii}} = \mathbf{H} \mathbf{P} \mathbf{H}$ ,

- ▶ Le problème de synthèse se résume à la recherche de

$$\boldsymbol{\theta}^{\text{opt}} = \underset{\boldsymbol{\theta} \in \Theta}{\text{argmin}} J_{e_P}(\boldsymbol{\theta}) \Leftrightarrow \boldsymbol{\theta}^{\text{opt}} = \underset{\boldsymbol{\theta} \in \Theta}{\text{argmin}} \boldsymbol{\theta}^T \mathbf{Q}_{\text{rii}} \boldsymbol{\theta}$$

→ solution donnée par analyse du quotient de Rayleigh  $R_{\mathbf{Q}_{\text{rii}}}(\cdot)$  !

## Méthodes d'optimisation : bilan

### Méthode des moindres carrés

- ▶  $\theta$  dépend de la structure de synthèse : quelconque (ou presque),
- ▶  $J_{e_P}(\theta) = \|\mathbf{e}_P\|_2^2 = \sum_n P^2(f_n) [H_I(f_n) - H_N(f_n)]^2$ ,

→ optimisation par inversion matricielle,

### Algorithme de Remez

- ▶  $\theta = [h_0, \dots, h_{M-1}]^T$  pour un RIF à phase linéaire,
- ▶  $J_{e_P}(\theta) = \|\mathbf{e}_P(f)\|_{\mathcal{L}_\infty} = \sup_f |P(f) [H_I(f) - H_N(f)]|$ ,

→ procédure itérative : optimisation par minimisation alternée,

### Filtrés propres (RIF)

- ▶  $\theta = [h_0, \dots, h_{M-1}]^T$  pour un RIF à phase linéaire,
- ▶  $J_e(\theta) = \|\mathbf{e}(f)\|_{\mathcal{L}_2}^2 = \int |H_I(f) - H_N(f)|^2 df$ ,

→ optimisation par analyse spectrale (SVD de  $\mathbf{Q}_{\text{rif}}$ ),

### Filtrés propres (RII)

- ▶  $\theta = [a_0, \dots, a_{M-1}, b_0, \dots, b_{M-1}]^T$ ,
- ▶  $J_{e_P}(\theta) = \|\mathbf{e}(f)\|_2^2 = \sum_n P^2(n) (\sum_k b_k h_I(n-k) - a_k \delta(n-k))^2$ ,

→ optimisation par analyse spectrale (SVD de  $\mathbf{Q}_{\text{rii}}$ ),

## Plan du cours

### Optimisation

- Synthèse non-optimale d'un filtre RIF

  - Synthèse directe

  - Échantillonnage en fréquence

- Synthèse non-optimale d'un filtre RII

  - Synthèse directe

  - Approximants de Padé

- Méthodes d'optimisation

  - Méthode des moindres carrés

  - Algorithme de Remez

  - Filtres propres

- Stabilisation des solutions

### Effets numériques

### Structures non-standards

## Stabilisation des solutions

- Pour s'assurer de la stabilité de

$$H_N(z) = \frac{V(z)}{\prod_{k=0}^{M-1} (1 - p_k z^{-1})},$$

il faudrait résoudre le problème d'optimisation contraint

$$\min_{\theta \in \Theta} J_{eP}(\theta) \quad \text{s.c.} \quad \{|p_k| < 1\}_{k=0}^{M-1}$$

→ possible avec  $\theta = [p_0, \dots, p_{M-1}]^T$  (structure série/cascade),

→ sinon bon courage !

- *Alternative* : optimisation non contrainte puis stabilisation,

## Stabilisation des solutions

- ▶ Soit  $p_0$  un pôle instable d'ordre 1, i.e.,  $|p_0| > 1$ ,
- ▶ La transmittance  $H_N(z)$  se factorise :

$$H_N(z) = \frac{1}{1 - p_0 z^{-1}} H'_N(z), \quad \text{avec } H'_N(p_0) \neq 0$$

- ▶ Soit le filtre passe tout

$$G(z) = \frac{1}{p_0} \frac{1 - p_0 z^{-1}}{1 - \left(\frac{1}{p_0^*}\right) z^{-1}}, \quad \text{avec } |G(z)| = 1$$

- ▶ On pose

$$\tilde{H}_N(z) = G(z)H_N(z) = \frac{1}{p_0 \left(1 - \left(\frac{1}{p_0^*}\right) z^{-1}\right)} H'_N(z),$$

- ▶  $p_0$  n'est pas un pôle (instable) de  $\tilde{H}_N(z)$ ,
- ▶  $1/p_0^*$  est un pôle stable de  $\tilde{H}_N(z)$  car  $|1/p_0^*| = 1/|p_0| < 1$ ,
- ▶ et surtout  $|\tilde{H}_N(z)| = |H_N(z)|$ .



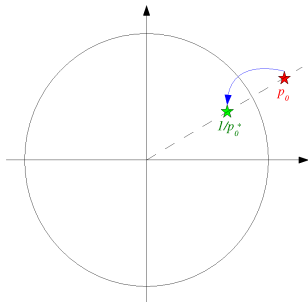
## Stabilisation des solutions

- Interprétation dans le plan :

$$p_0 = r_0 e^{i\theta_0}$$



$$\frac{1}{p_0^*} = \frac{1}{r_0} e^{i\theta_0}$$



- Récursivement sur  $H'_N(z)$ , chaque pôle  $p_k$  à l'extérieur de  $\mathcal{C}(0, 1)$  est remplacé par son réfléchi  $1/p_k^*$ .

### Remarque

Même procédure sur le numérateur  $V(z) \Rightarrow$  filtre à phase minimale.

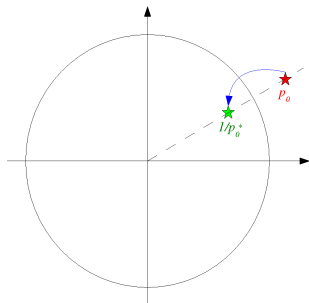
## Stabilisation des solutions

- Interprétation dans le plan :

$$p_0 = r_0 e^{i\theta_0}$$



$$\frac{1}{p_0^*} = \frac{1}{r_0} e^{i\theta_0}$$



- Récursivement sur  $H'_N(z)$ , chaque pôle  $p_k$  à l'extérieur de  $\mathcal{C}(0, 1)$  est remplacé par son réfléchi  $1/p_k^*$ .

### Remarque

Même procédure sur le numérateur  $V(z) \Rightarrow$  filtre à phase minimale.

## Plan du cours

### Optimisation

### Effets numériques

- Quelques rappels

  - Représentation à virgule fixe

  - Effets numériques

- Quantification de l'entrée

- Quantification des coefficients

- Quantification des calculs

  - Entrées constantes

  - Entrées variables

### Structures non-standards

## Plan du cours

### Optimisation

### Effets numériques

#### Quelques rappels

Représentation à virgule fixe

Effets numériques

Quantification de l'entrée

Quantification des coefficients

Quantification des calculs

Entrées constantes

Entrées variables

### Structures non-standards

## Quelques rappels

### Représentation à virgule fixe

- ▶ Tout nombre  $x$  est codé

$$x_q = \underbrace{(\pm)}_{\text{bit de signe}}, \overbrace{b_{n_E}, \dots, b_0}^{\text{partie entière}}, \underbrace{b_{-1}, \dots, b_{n_F}}_{\text{partie fractionnaire}}$$

avec  $b_j \in \{0, 1\}$

- ▶ Contraintes :

$$\text{Quantum : } \Delta q = 2^{-n_F}$$

$$\text{Dynamique : } x_q^{\max} = \sum_{j=-n_F}^{n_E} 2^j = 2^{n_E+1} - 2^{-n_F}$$

*Exemple* :  $n_E = 2, n_F = 2$

$$\begin{aligned} x_q^{\max} &= \underbrace{1 \times 2^0 + 1 \times 2^1 + 1 \times 2^2}_{=7} + \underbrace{1 \times 2^{-1} + 1 \times 2^{-2}}_{=3/4} \\ &= 8 - 1/4 \end{aligned}$$

## Quelques rappels

### Représentation à virgule fixe

- Quantification (non-)biaisée,

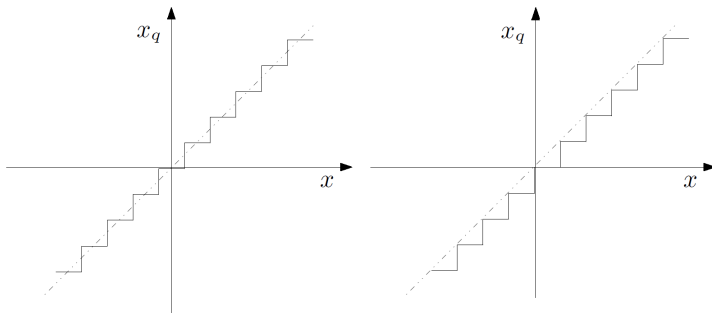
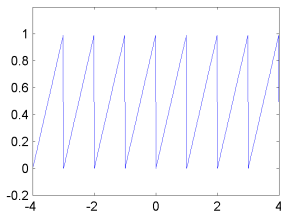
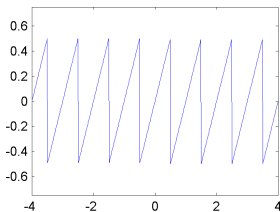
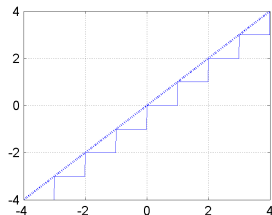
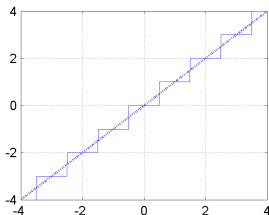


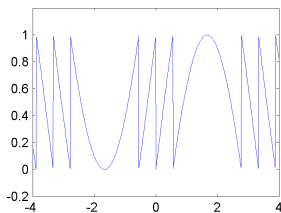
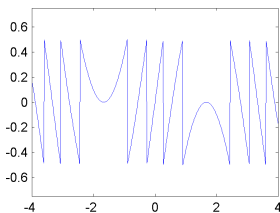
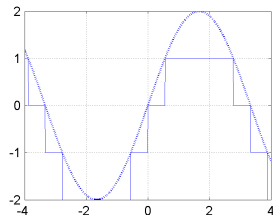
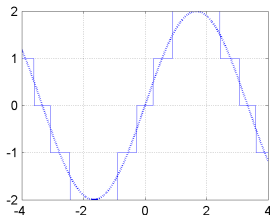
Figure: Quantification non-biaisée (gauche) et biaisée (droite).

## Quelques rappels

### Représentation à virgule fixe



## Quelques rappels Représentation à virgule fixe





## Quelques rappels

### Effets numériques

*Erreur de quantification*  $e_q(t) = x(t) - x_{q(t)}$

- ▶ modèle déterministe  $e_q$  :

$$|e_q(t)| \leq \begin{cases} \Delta q, & \text{si quantification biaisée;} \\ \frac{\Delta q}{2}, & \text{si quantification non biaisée.} \end{cases}$$

- ▶ modèle aléatoire  $e_q(t)$  avec les hypothèses simplificatrices<sup>9</sup>
  - ▶  $e_q(t)$  indépendant de  $x(t)$ ,
  - ▶ bruit blanc :  $R_{e_q}(\tau) = \mathbb{E}[e_q(t)e_q(t-\tau)] = \sigma_e^2\delta(\tau)$ ,
  - ▶ moments d'ordre 1 et 2 définis par :

$$\mathbb{E}[e_q(t)] = \begin{cases} \frac{\Delta q}{2}, & \text{si quantification biaisée;} \\ 0, & \text{si quantification non biaisée.} \end{cases}$$

$$\text{var}[e_q(t)] = \sigma_e^2 = \frac{\Delta q^2}{12},$$

---

<sup>9</sup>Conditions de validité :  $\text{var}[x] = \sigma_x^2 \gg \Delta q^2$ , en pratique  $\sigma_x > 3\Delta q$ .

## Quelques rappels

### Effets numériques

#### Dépassement

- Si  $x = x^{\max} + \Delta q$  alors

$$x_q = \begin{cases} -x_q^{\max}, & \text{en absence de protection;} \\ x_q^{\max}, & \text{avec protection.} \end{cases}$$

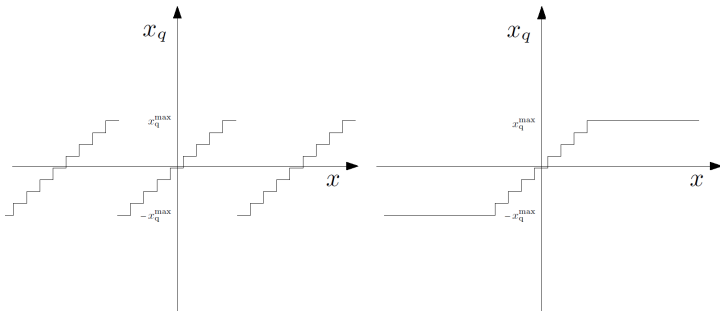


Figure: Effet du dépassement sans (gauche) et avec (droite) protection.

## Plan du cours

### Optimisation

### Effets numériques

Quelques rappels

Représentation à virgule fixe

Effets numériques

### Quantification de l'entrée

Quantification des coefficients

Quantification des calculs

Entrées constantes

Entrées variables

### Structures non-standards

## Quantification de l'entrée

CAN  $\Rightarrow$  bruit d'entrée  $e_x(n)$  qui se propage dans le filtre

$$x_q(n) \approx x(n) + e_x(n) \Rightarrow y_q(n) \approx y(n) + e_y(n)$$

*Modèle déterministe ( $x(n) = \text{constante}$ )*

► erreur de sortie bornée :

$$\begin{aligned} |e_y(n)| &= \left| \sum_k e_x(n-k)h(k) \right| \\ &\leq \sum_k |e_x(n-k)h(k)| \\ &\leq \frac{\Delta q}{2} \sum_k |h(k)| \quad (\text{si quantification non-biaisée}) \end{aligned}$$

## Quantification de l'entrée

CAN  $\Rightarrow$  bruit d'entrée  $e_x(n)$  qui se propage dans le filtre

$$x_q(n) \approx x(n) + e_x(n) \Rightarrow y_q(n) \approx y(n) + e_y(n)$$

*Modèle déterministe ( $x(n) = \text{constante}$ )*

- erreur de sortie bornée :

$$\begin{aligned} |e_y(n)| &= \left| \sum_k e_x(n-k)h(k) \right| \\ &\leq \sum_k |e_x(n-k)h(k)| \\ &\leq \frac{\Delta q}{2} \sum_k |h(k)| \quad (\text{si quantification non-biaisée}) \end{aligned}$$

## Quantification de l'entrée

*Modèle aléatoire ( $x(t) \neq \text{constante}$ )*

- ▶ Bruit blanc en entrée :

$$R_{e_x}(\tau) = \frac{\Delta q^2}{12} \delta(\tau) \Leftrightarrow S_{e_x}(f) = \frac{\Delta q^2}{12}$$

- ▶ Densité spectrale de puissance (relation de Wiener-Lee) :

$$S_{e_y}(f) = |H(f)|^2 \frac{\Delta q^2}{12}$$

- ▶ Puissance totale :

$$P_{e_y} = \int_{-\frac{1}{2}}^{\frac{1}{2}} S_{e_y}(f) df = \frac{\Delta q^2}{12} \int_{-\frac{1}{2}}^{\frac{1}{2}} |H(f)|^2 df$$

et d'après l'égalité de Parseval :

$$P_{e_y} = \frac{\Delta q^2}{12} \sum_n |h(n)|^2.$$

## Plan du cours

### Optimisation

### Effets numériques

Quelques rappels

Représentation à virgule fixe

Effets numériques

Quantification de l'entrée

**Quantification des coefficients**

Quantification des calculs

Entrées constantes

Entrées variables

### Structures non-standards

## Quantification des coefficients

$$\theta_q = \theta + \Delta\theta \Rightarrow H_q(z) = \frac{B(z) + \Delta B(z)}{A(z) + \Delta A(z)}$$

*Sensibilité : déplacement des pôles (et/ou zéros)*

- Soit le polynôme :

$$A(z) = \sum_k a_k z^{-k} = \prod_m (1 - p_m z^{-1})$$

- On montre que :

$$\frac{\partial p_m}{\partial a_k} = \frac{p_m^{M-k}}{\prod_{j \neq m} (p_j - p_m)}$$

→ déplacement grand si  $\exists j \neq m$  tel que  $p_j - p_m \approx 0$

- conséquence (pour un RII stable) :

si  $M \uparrow \Rightarrow$  dans le cercle  $C(0, 1)$ , densité des pôles  $\uparrow \Rightarrow$  sensibilité  $\uparrow$  !

→ en pratique, implantation de cellule d'ordre 2 ( $\forall$  structure)



## Quantification des coefficients

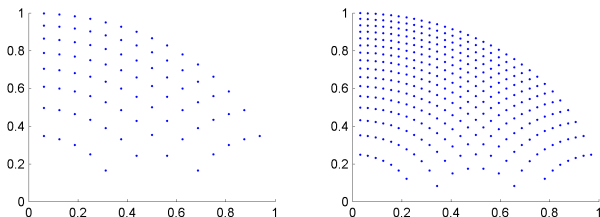
Cas de la cellule purement réursive d'ordre 2

$$A_q(z) = 1 + a_{1,q}z^{-1} + a_{2,q}z^{-2} = (1 - p_{1,q}z^{-1})(1 - p_{2,q}z^{-1})$$

avec  $p_{i,q} = \frac{1}{2} \left( -a_{1,q} \pm \sqrt{a_{1,q}^2 - 4a_{2,q}} \right)$

*Position des pôles stables dans le plan en z*

- Nombre fini de couples  $(a_{1,q}, a_{2,q})$  tels que  $p_{i,q}$  dans le cercle unité.



**Figure:** Position des pôles et zéros avec quantification de quantum  $\Delta q = 2^{-3}$  (gauche) et  $\Delta q = 2^{-4}$  (droite).

## Quantification des coefficients

Cas de la cellule purement réursive d'ordre 2

Position des pôles stables dans le plan  $(a_1, a_2)$

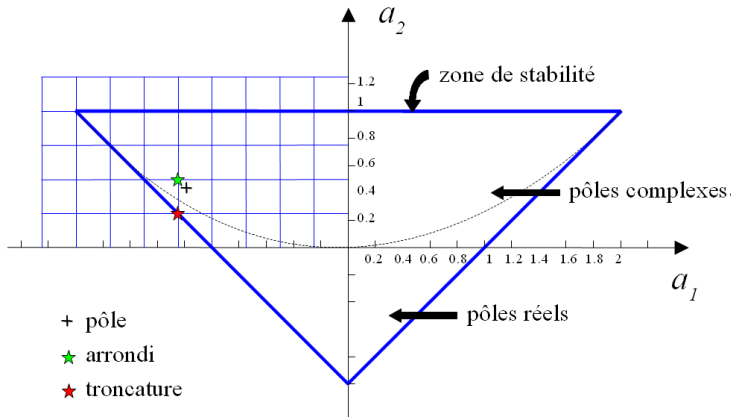


Figure: Position des pôles stables avec quantification de quantum  $\Delta q = 2^{-2}$ .

## Quantification des coefficients

Cas de la cellule purement récurrente d'ordre 2

Position des pôles stables dans le plan  $(a_1, a_2)$

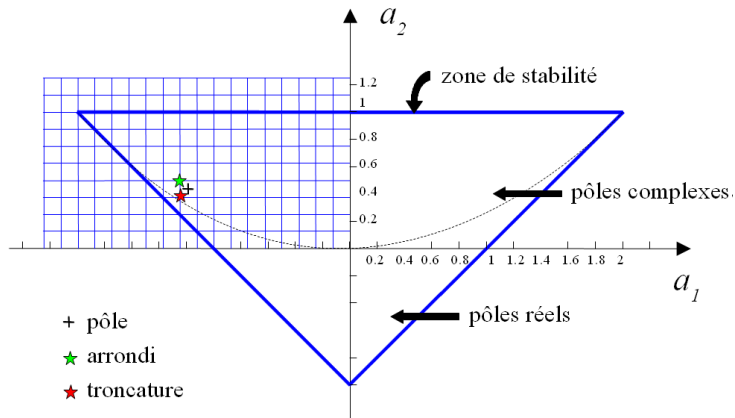


Figure: Position des pôles stables avec quantification de quantum  $\Delta q = 2^{-3}$ .

## Plan du cours

### Optimisation

### Effets numériques

Quelques rappels

Représentation à virgule fixe

Effets numériques

Quantification de l'entrée

Quantification des coefficients

**Quantification des calculs**

Entrées constantes

Entrées variables

### Structures non-standards

## Quantification des calculs

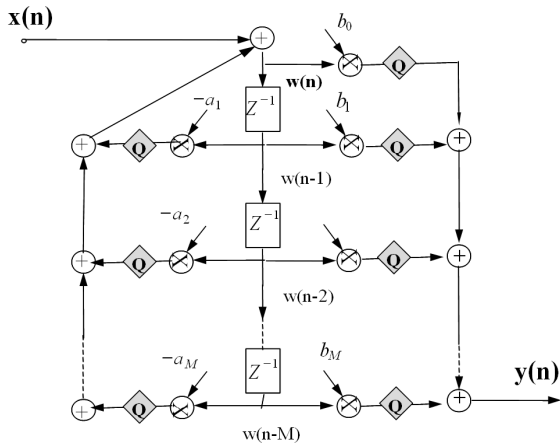


Figure: Localisation des opérateurs de quantification dans une structure D-N.

## Quantification des calculs

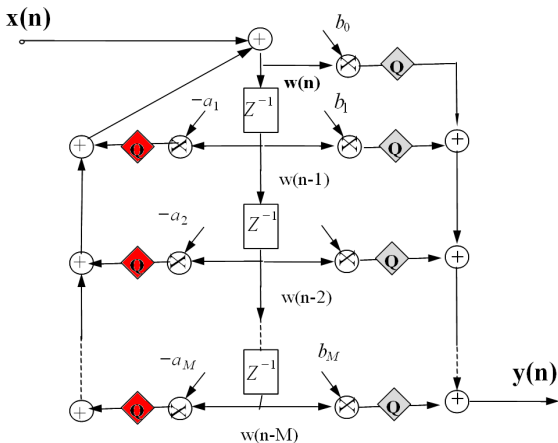


Figure: Localisation des opérateurs de quantification dans une structure D-N.

→ Erreur réinjectée :  $w_q(n) = Q [-\sum_k Q [a_k w_q(n - k)] + x(n)]$

## Quantification des calculs

### Entrées constantes

$$w_q(n) = Q \left[ - \sum_k Q [a_k w_q(n-k)] + x(n) \right]$$

→ équation non linéaire réursive

Comportements possibles, suivant les conditions initiales :

- ▶ attracteur ponctuel (point fixe),  
→ entrée constante  $\Rightarrow$  sortie constante
- ▶ attracteur périodique : cycle-limite,  
→ non satisfaisant car générateur de signal périodique !  
→ amplitude d'oscillation  $A_a$  bornée par les bornes

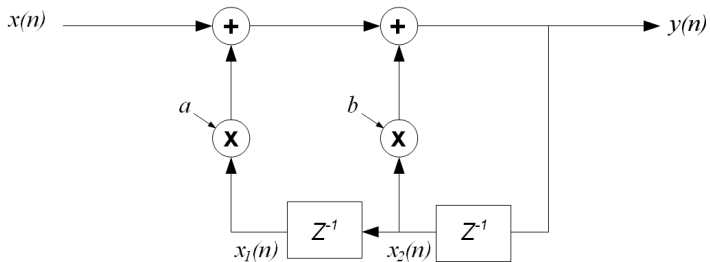
$$A_a \leq \frac{\Delta q}{2} \sum_k |h(k)| \quad \text{et} \quad A'_a \leq \frac{\Delta q}{2} \sup_f |H(f)|$$

(cas d'un opérateur de quantification non-biaisé)

- ▶ autres attracteurs (étrange, ponctuel périodique,...) : ...

## Quantification des calculs

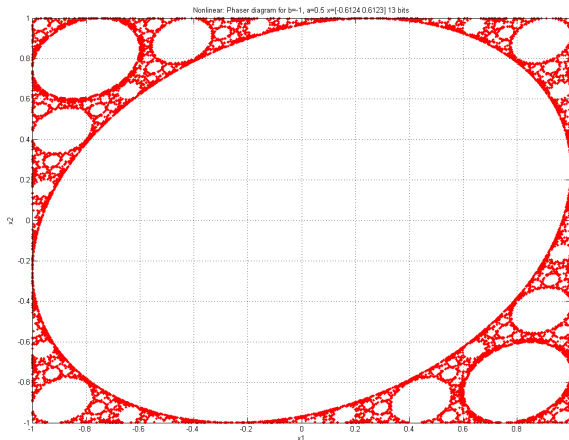
Entrées constantes : cas de la cellule purement réursive d'ordre 2





## Quantification des calculs

Entrées constantes : cas de la cellule purement récursive d'ordre 2

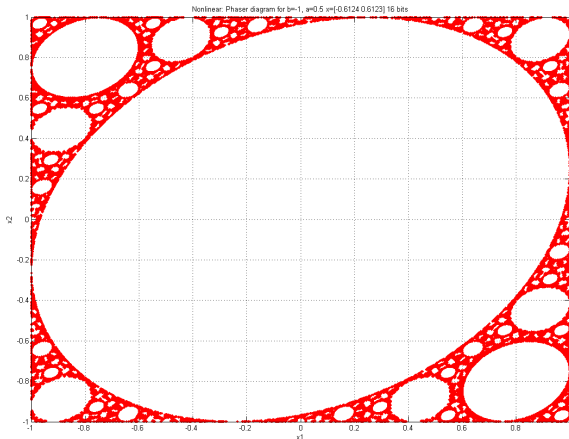


**Figure:** Trajectoire de  $(x_1(n), x_2(n))$  avec  $L = 13$ .

d'après [Ling et al, *Int. J. Bifurcation and Chaos*, 2003]

## Quantification des calculs

Entrées constantes : cas de la cellule purement récursive d'ordre 2

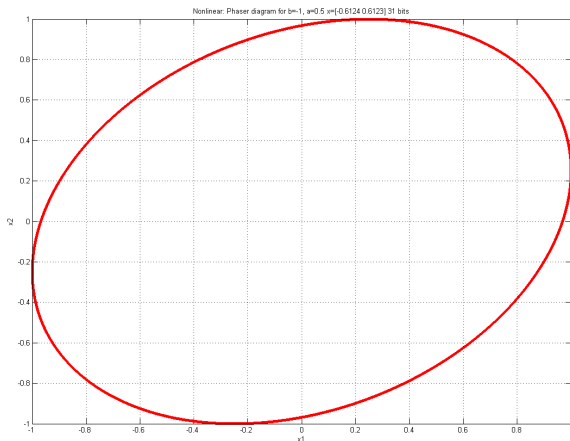


**Figure:** Trajectoire de  $(x_1(n), x_2(n))$  avec  $L = 16$ .

d'après [Ling et al, *Int. J. Bifurcation and Chaos*, 2003]

## Quantification des calculs

Entrées constantes : cas de la cellule purement récursive d'ordre 2



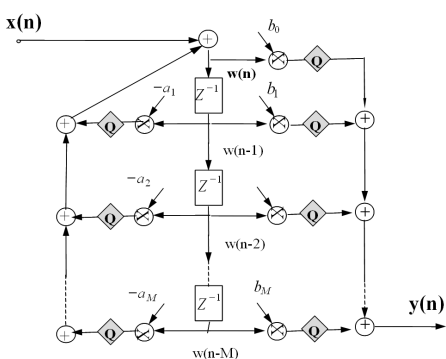
**Figure:** Trajectoire de  $(x_1(n), x_2(n))$  avec  $L = 31$ .

d'après [Ling et al, *Int. J. Bifurcation and Chaos*, 2003]

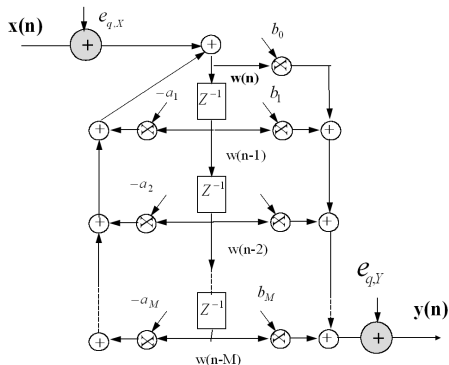
## Quantification des calculs

Entrées variables : bruit de calcul

### Modèle aléatoire du bruit de quantification



$\Leftrightarrow$



avec

$$\begin{cases} \text{var} [e_{q,x}(t)] &= M\sigma_e^2 = M\frac{\Delta q^2}{12} \\ \text{var} [e_{q,y}(t)] &= (M+1)\sigma_e^2 = (M+1)\frac{\Delta q^2}{12} \end{cases}$$

## Quantification des calculs

### Entrées variables : bruit de calcul

- ▶ Bruit de quantification en sortie :

$$\Delta y = e_{q,x}(t) * h(t) + e_{q,y}(t)$$

- ▶ Densité spectrale du bruit de quantification en sortie :

$$\begin{aligned} S_{\Delta y}(f) &= |H(f)|^2 S_{e_{q,x}}(f) + S_{e_{q,y}}(f) \\ &= \frac{M\Delta q^2}{12} \left( |H(f)|^2 + \frac{M+1}{M} \right) \end{aligned}$$

- ▶ Puissance du bruit de quantification en sortie :

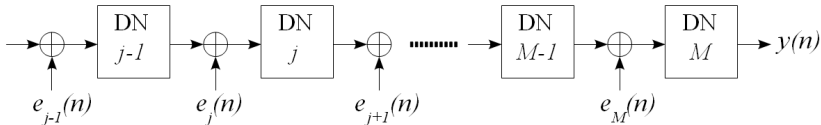
$$\begin{aligned} \sigma_{\Delta y}^2 &= \int_{-\frac{1}{2}}^{\frac{1}{2}} S_{\Delta y}(f) df \\ &= \frac{M\Delta q^2}{6} \int_0^{\frac{1}{2}} \left( |H(f)|^2 + \frac{M+1}{M} \right) df \end{aligned}$$

→ Puissance  $\uparrow$  linéairement avec  $M$ .

## Quantification des calculs

Entrées variables : bruit de calcul

Cas d'une structure cascade (e.g., cellules DN d'ordre 2)



- ▶ Transmittance entre la  $j$ ème cellule et la sortie (rang  $M$ ) :

$$T_j(f) = \prod_{k=j}^M H_k(f)$$

où  $H_k(f) = \frac{B_k(f)}{A_k(f)}$  est la transmittance d'une cellule élémentaire.

- ▶ Récurrence sur la densité spectrale en sortie de la  $M$ ème cellule :

$$S_{\Delta y}^{(M)}(f) = S_{e_M}(f) |H_M(f)|^2 + S_{\Delta y}^{(M-1)} |H_M(f)|^2$$

d'où

$$S_{\Delta y}^{(M)}(f) = \sum_{j=1}^M S_{e_j}(f) |T_j(f)|^2 = \sum_{j=1}^M \left[ S_{e_j}(f) \prod_{k=j}^M |H_k(f)|^2 \right]$$

## Quantification des calculs

### Entrées variables : bruit de calcul

*Cas d'une structure cascade (e.g., cellules DN d'ordre 2)*

$$S_{\Delta y}^{(M)}(f) = \sum_{j=1}^M S_{e_j}(f) |T_j(f)|^2 = \sum_{j=1}^M \left[ S_{e_j}(f) \prod_{k=j}^M |H_k(f)|^2 \right]$$

Pour minimiser le bruit de calcul total :

1. Minimisation de  $|T_j(f)| = \prod_{k=j}^M |H_k(f)|$ , i.e.,  $\sup_f |H_k(f)|$   
 → appariement judicieux des pôles et zéros de  $T_j(f)$ , i.e., des couples  $\{A_k(\cdot), B_k(\cdot)\}_k$
2. Optimiser l'ordre des  $H_k(f)$  : la  $H_M(f)$  filtre  $M$  bruits de calculs  
 → ranger les cellules tels que  $\sup_f |H_1(f)| \geq \dots \geq \sup_f |H_M(f)|$

## Plan du cours

Optimisation

Effets numériques

Structures non-standards

Structures treillis/échelle

Bases théoriques

Application à la synthèse de filtres RIF

Application à la synthèse de filtres RII

Structures “rationnelles”

Structures multi-cadences

Quelques notions théoriques

Banc de filtres à deux voies

Généralisation à  $M$  sous-bandes

Et la transformée en ondelettes discrète ?

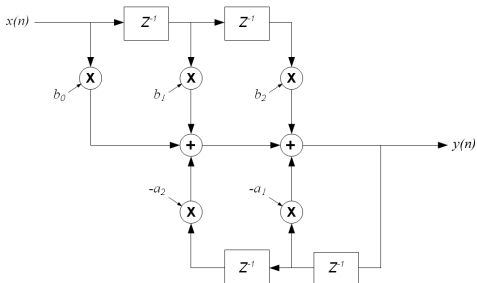


## Structures non-standards

*Non-standards ?...*

... c'est à dire qui ne sont pas

- ▶ directes,



$$Y(z) = \frac{B(z)}{A(z)} X(z)$$

d'où

$$y(n) = - \sum_k a_k y(n-k) + \sum_k b_k x(n-k)$$

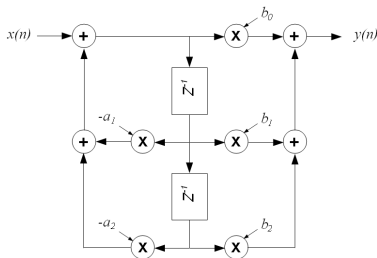
⇒  $(2M + 1)$  additions/multiplications + 2 files d'attente

## Structures non-standards

*Non-standards ?...*

... c'est à dire qui ne sont pas

- ▶ directes,
- ▶ canoniques,



$$Y(z) = \frac{B(z)}{A(z)} X(z) = \underbrace{\left( \frac{X(z)}{A(z)} \right)}_{W(z)} N(z)$$

d'où

$$\begin{cases} y(n) &= \sum_k b_k w(n-k) \\ w(n) &= -\sum_k a_k w(n-k) + x(n) \end{cases}$$

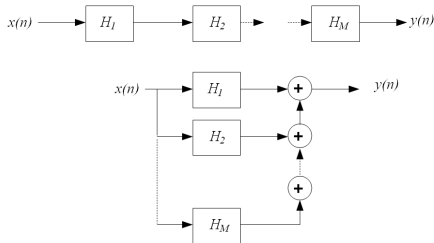
⇒  $(2M + 1)$  additions/multiplications + **1** file d'attente

## Structures non-standards

*Non-standards ?...*

... c'est à dire qui ne sont pas

- ▶ directes,
- ▶ canoniques,
- ▶ décomposées : cascade ou parallèle.



Factorisation pôles/zéros

$$H(z) = G \prod_k H_k(z)$$

Décomposition en éléments simples

$$H(z) = C + \sum_k H_k(z)$$

## Structures non-standards

### *Non-standards ?...*

... c'est à dire qui ne sont pas

- ▶ directes,
- ▶ canoniques,
- ▶ décomposées : cascade ou parallèle.

### *Motivations*

- ▶ faible sensibilité aux erreurs numériques,  
objectif déjà rencontré dans la structure cascade : appairage des pôles/zéros<sup>10</sup>
- ▶ adéquation algorithmes-architectures ( $A^3$ ),
- ▶ interprétation plus "physique" des paramètres en jeu  $\theta$ .

---

<sup>10</sup>M. Bellanger, *Traitement Numérique du Signal*, Masson, 1994.

## Plan du cours

Optimisation

Effets numériques

Structures non-standards

Structures treillis/échelle

Bases théoriques

Application à la synthèse de filtres RIF

Application à la synthèse de filtres RII

Structures "rationnelles"

Structures multi-cadences

Quelques notions théoriques

Banc de filtres à deux voies

Généralisation à  $M$  sous-bandes

Et la transformée en ondelettes discrète ?

## Quelques idées empruntées à la prédiction linéaire

Soit le polynôme en  $z$  défini par ( $m = 1, \dots, M$ )

$$P_m(z) = \sum_{k=0}^m p_{m,k} z^{-k} \quad \text{avec } p_{m,0} = 1.$$

On introduit le polynôme réciproque

$$\begin{aligned} \tilde{P}_m(z) &= z^{-m} P_m\left(\frac{1}{z}\right) \\ &= \sum_{k=0}^m p_{m,m-k} z^{-k} \end{aligned}$$

Exemple ( $m = 3$ ) :

$$\begin{aligned} P_3(z) &= p_{3,0} + p_{3,1}z^{-1} + p_{3,2}z^{-2} + p_{3,3}z^{-3} \\ \Leftrightarrow \\ \tilde{P}_3(z) &= p_{3,3} + p_{3,2}z^{-1} + p_{3,1}z^{-2} + p_{3,0}z^{-3} \end{aligned}$$

## Quelques idées empruntées à la prédiction linéaire

Soit le produit scalaire entre 2 polynômes par défini par :

$$\langle F(z), G(z) \rangle = \frac{1}{2\pi j} \int_{\mathcal{C}(0,1)} R_M(z) F(z) G^\dagger(z) z^{-1} dz$$

où

- ▶  $G(z) = \sum_k g_k z^{-k} \Leftrightarrow G^\dagger(z) = \sum_k g_k^* z^k$  (=  $G(1/z)$  dans le cas de coefficients réels)
- ▶  $\mathcal{C}(0, 1)$  est le cercle unité
- ▶  $R_M(z) = [P_M(z) P_M(z^{-1})]^{-1}$

Il s'écrit également

$$\langle F(z), G(z) \rangle = \frac{1}{2\pi} \int_{-\pi}^{\pi} R_M(e^{j\theta}) F(e^{j\theta}) G^*(e^{j\theta}) d\theta$$

## Quelques idées empruntées à la prédiction linéaire

Soient les familles de polynômes réciproques  $\{P_0(z), \dots, P_M(z)\}$  et  $\{\tilde{P}_0(z), \dots, \tilde{P}_M(z)\}$  construites de la manière suivante

$$\begin{cases} P_m(z) = P_{m-1}(z) + k_m z^{-1} \tilde{P}_{m-1}(z) \\ \tilde{P}_m(z) = k_m P_{m-1}(z) + z^{-1} \tilde{P}_{m-1}(z) \end{cases}$$

avec  $m = 1, \dots, M$  et  $P_0(z) = \tilde{P}_0(z) = 1$ .

Une formulation matricielle de cette récurrence **prograde** s'écrit

$$\begin{pmatrix} P_m(z) \\ \tilde{P}_m(z) \end{pmatrix} = \begin{pmatrix} 1 & k_m z^{-1} \\ k_m & z^{-1} \end{pmatrix} \begin{pmatrix} P_{m-1}(z) \\ \tilde{P}_{m-1}(z) \end{pmatrix}$$

ou de manière équivalente ( $|k_m| \neq 1$ ), la récurrence **rétrograde** est

$$\begin{pmatrix} P_{m-1}(z) \\ \tilde{P}_{m-1}(z) \end{pmatrix} = \frac{1}{1 - k_m^2} \begin{pmatrix} 1 & -k_m \\ -k_m z & z \end{pmatrix} \begin{pmatrix} P_m(z) \\ \tilde{P}_m(z) \end{pmatrix}$$



## Quelques idées empruntées à la prédiction linéaire

Soient les familles de polynômes réciproques  $\{P_0(z), \dots, P_M(z)\}$  et  $\{\tilde{P}_0(z), \dots, \tilde{P}_M(z)\}$  construites de la manière suivante

$$\begin{cases} P_m(z) = P_{m-1}(z) + k_m z^{-1} \tilde{P}_{m-1}(z) \\ \tilde{P}_m(z) = k_m P_{m-1}(z) + z^{-1} \tilde{P}_{m-1}(z) \end{cases}$$

avec  $m = 1, \dots, M$  et  $P_0(z) = \tilde{P}_0(z) = 1$ .

Une formulation matricielle de cette récurrence **prograde** s'écrit

$$\begin{pmatrix} P_m(z) \\ \tilde{P}_m(z) \end{pmatrix} = \begin{pmatrix} 1 & k_m z^{-1} \\ k_m & z^{-1} \end{pmatrix} \begin{pmatrix} P_{m-1}(z) \\ \tilde{P}_{m-1}(z) \end{pmatrix}$$

ou de manière équivalente ( $|k_m| \neq 1$ ), la récurrence **rétrograde** est

$$\begin{pmatrix} P_{m-1}(z) \\ \tilde{P}_{m-1}(z) \end{pmatrix} = \frac{1}{1 - k_m^2} \begin{pmatrix} 1 & -k_m \\ -k_m z & z \end{pmatrix} \begin{pmatrix} P_m(z) \\ \tilde{P}_m(z) \end{pmatrix}$$

## Quelques idées empruntées à la prédiction linéaire

Soient les familles de polynômes réciproques  $\{P_0(z), \dots, P_M(z)\}$  et  $\{\tilde{P}_0(z), \dots, \tilde{P}_M(z)\}$  construites de la manière suivante

$$\begin{cases} P_m(z) = P_{m-1}(z) + k_m z^{-1} \tilde{P}_{m-1}(z) \\ \tilde{P}_m(z) = k_m P_{m-1}(z) + z^{-1} \tilde{P}_{m-1}(z) \end{cases}$$

avec  $m = 1, \dots, M$  et  $P_0(z) = \tilde{P}_0(z) = 1$ .

Une formulation matricielle de cette récurrence **prograde** s'écrit

$$\begin{pmatrix} P_m(z) \\ \tilde{P}_m(z) \end{pmatrix} = \begin{pmatrix} 1 & k_m z^{-1} \\ k_m & z^{-1} \end{pmatrix} \begin{pmatrix} P_{m-1}(z) \\ \tilde{P}_{m-1}(z) \end{pmatrix}$$

ou de manière équivalente ( $|k_m| \neq 1$ ), la récurrence **rétrograde** est

$$\begin{pmatrix} P_{m-1}(z) \\ \tilde{P}_{m-1}(z) \end{pmatrix} = \frac{1}{1 - k_m^2} \begin{pmatrix} 1 & -k_m \\ -k_m z & z \end{pmatrix} \begin{pmatrix} P_m(z) \\ \tilde{P}_m(z) \end{pmatrix}$$

## Quelques idées empruntées à la prédiction linéaire

Alors on a les propriétés fondamentales suivantes<sup>11,12</sup>:

- ▶ les suites de polynômes  $\{P_0(z), \dots, P_M(z)\}$  et  $\{\tilde{P}_0(z), \dots, \tilde{P}_M(z)\}$  sont orthogonales à la base canonique, i.e.,

$$\langle P_m(z), z^{-k} \rangle = 0, \quad k = 1, \dots, m$$

$$\langle \tilde{P}_m(z), z^{-k} \rangle = 0, \quad k = 1, \dots, m$$

- ▶ la suite de polynômes  $\{\tilde{P}_0(z), \dots, \tilde{P}_M(z)\}$  définit une base orthogonale, i.e.,

$$\langle \tilde{P}_j(z), \tilde{P}_k(z) \rangle = \alpha_j \delta(j - k) = \begin{cases} \alpha_j, & \text{si } j = k; \\ 0, & \text{sinon.} \end{cases}$$

<sup>11</sup>A. H. Gray, Jr. and J. D. Markel, "Digital Lattice and Ladder Filter Synthesis," *IEEE Trans. Audio. Electroacoust.*, vol. 21, no. 6, pp. 491-500, Dec. 1973.

<sup>12</sup>A. H. Gray, Jr., and J. D. Markel, "On Autocorrelation Equations as Applied to Speech Analysis," *IEEE Trans. Audio. Electroacoust.*, vol. 21, no. 2, pp. 69-79, April 1973.

## Quelques idées empruntées à la prédiction linéaire

De plus, on a

- ▶ Si  $|k_m| \neq 1$  ( $m = 1, \dots, M$ ), la suite  $\{k_0, \dots, k_M\}$  est complètement définie par la suite  $\{p_{M,0}, \dots, p_{M,M}\}$   
 $\Rightarrow$  Tout polynôme  $P_M(z)$  est représenté de manière unique par  $\{p_{M,0}, \dots, p_{M,M}\}$  ou  $\{k_1, \dots, k_M\}$  !
- ▶ Les racines  $z_1, \dots, z_M$  de  $P_M(z)$  sont dans le cercle unité sous la condition nécessaire et suffisante suivante :

$$\forall m \in \{1, \dots, M\}, |z_m| < 1 \Leftrightarrow \forall m \in \{1, \dots, M\}, |k_m| < 1$$

- ▶ Calcul des  $k_m$  : récursion de Levinson-Durbin

$$\begin{cases} p_{m-1,j} &= \frac{1}{1-k_m^2} (p_{m,j} - k_m p_{m,m-j}), \quad \forall j \in \{1, \dots, m-1\} \\ k_m &= p_{m,m}, \quad \forall m \in \{1, \dots, M\} \end{cases}$$

## Application à la synthèse de filtres RIF

Soit le filtre RIF à implanter de transmittance  $H(z) = P_M(z)$  et la transmittance réciproque  $\tilde{H}(z) = \tilde{P}_M(z)$ . Les sorties  $Y_M(z)$  et  $\tilde{Y}_M(z)$  des filtres d'entrée  $X(z)$  sont

$$\begin{cases} Y_M(z) = P_M(z)X(z) \\ \tilde{Y}_M(z) = \tilde{P}_M(z)X(z) \end{cases}$$

La récurrence prograde permet d'écrire :

$$\begin{cases} Y_M(z) = \left[ P_{M-1}(z) + k_M z^{-1} \tilde{P}_{M-1}(z) \right] X(z) \\ \tilde{Y}_M(z) = \left[ k_M P_{M-1}(z) + z^{-1} \tilde{P}_{M-1}(z) \right] X(z) \end{cases}$$

d'où

$$\begin{cases} Y_M(z) = Y_{M-1} + k_M z^{-1} \tilde{Y}_{M-1}(z) \\ \tilde{Y}_M(z) = k_M Y_{M-1} + z^{-1} \tilde{Y}_{M-1}(z) \end{cases}$$

avec  $Y_{M-1}(z) = P_{M-1}(z)X(z)$  et  $\tilde{Y}_{M-1}(z) = \tilde{P}_{M-1}(z)X(z)$ .

## Application à la synthèse de filtres RIF

Soit le filtre RIF à implanter de transmittance  $H(z) = P_M(z)$  et la transmittance réciproque  $\tilde{H}(z) = \tilde{P}_M(z)$ . Les sorties  $Y_M(z)$  et  $\tilde{Y}_M(z)$  des filtres d'entrée  $X(z)$  sont

$$\begin{cases} Y_M(z) = P_M(z)X(z) \\ \tilde{Y}_M(z) = \tilde{P}_M(z)X(z) \end{cases}$$

La récurrence prograde permet d'écrire :

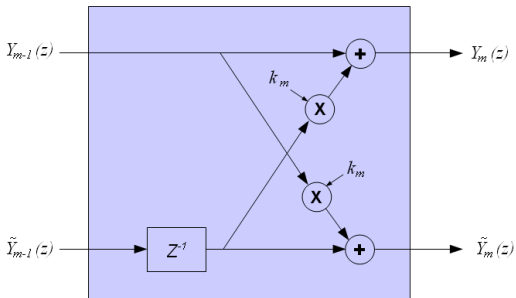
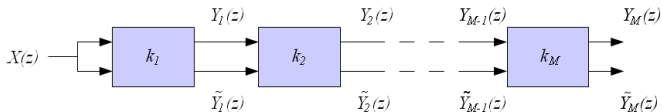
$$\begin{cases} Y_M(z) = \left[ P_{M-1}(z) + k_M z^{-1} \tilde{P}_{M-1}(z) \right] X(z) \\ \tilde{Y}_M(z) = \left[ k_M P_{M-1}(z) + z^{-1} \tilde{P}_{M-1}(z) \right] X(z) \end{cases}$$

d'où

$$\begin{cases} Y_M(z) = Y_{M-1} + k_M z^{-1} \tilde{Y}_{M-1}(z) \\ \tilde{Y}_M(z) = k_M Y_{M-1} + z^{-1} \tilde{Y}_{M-1}(z) \end{cases}$$

avec  $Y_{M-1}(z) = P_{M-1}(z)X(z)$  et  $\tilde{Y}_{M-1}(z) = \tilde{P}_{M-1}(z)X(z)$ .

## Application à la synthèse de filtres RIF



## Application à la synthèse de filtres RIF

*Bilan - méthode de synthèse du filtre RIF de transmittance  $H(z) = P_M(z)$*

- ▶ On se donne les coefficients  $\{p_{M,0}, \dots, p_{M,M}\}$ ,
- ▶ On pose  $k_M = p_{M,M}$ ,
- ▶ Pour  $m = M, \dots, 2$ , récursion **rétrograde** de Levinson-Durbin
  - ▶ Pour  $j = 0, \dots, m-1$ , calcul des coefficients de  $P_m(z)$

$$p_{m-1,j} = \frac{1}{1 - k_m^2} (p_{m,j} - k_m p_{m,m-j})$$

- ▶ On pose  $k_{m-1} = p_{m-1,m-1}$
- ▶ Implantation du treillis.



## Application à la synthèse de filtres RII

### Cellules purement récursives

Soit le filtre RII à implanter de transmittance  $H(z) = \frac{1}{A_M(z)}$ .

On génère la base orthogonale de polynômes  $\{\tilde{A}_0(z), \dots, \tilde{A}_M(z)\}$  et on réécrit le système de récurrence prograde initial

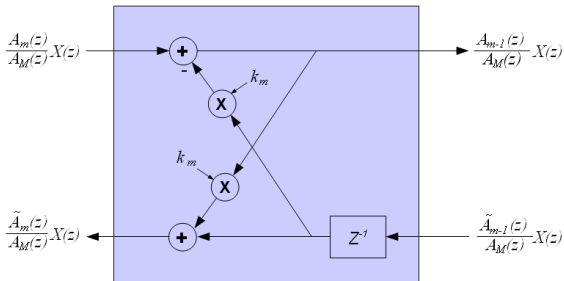
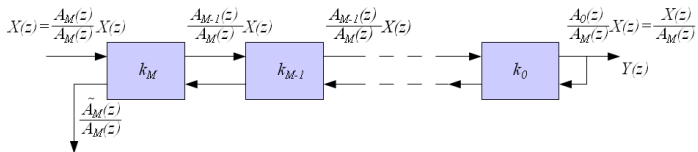
$$\begin{cases} A_m(z) = A_{m-1}(z) + k_m z^{-1} \tilde{A}_{m-1}(z) \\ \tilde{A}_m(z) = k_m A_{m-1}(z) + z^{-1} \tilde{A}_{m-1}(z) \end{cases}$$

comme

$$\begin{cases} A_{m-1}(z) = A_m(z) - k_m z^{-1} \tilde{A}_{m-1}(z) \\ \tilde{A}_m(z) = k_m A_{m-1}(z) + z^{-1} \tilde{A}_{m-1}(z) \end{cases}$$

## Application à la synthèse de filtres RII

### Cellules purement récursives



## Application à la synthèse de filtres RII

Soit le filtre RII à implanter de transmittance  $H(z) = \frac{P_M(z)}{A_M(z)}$ .

On génère la base orthogonale de polynômes  $\{\tilde{A}_0(z), \dots, \tilde{A}_M(z)\}$  puis on décompose  $P_M(z)$  sur cette base

$$P_M(z) = \sum_{m=0}^M \nu_m \tilde{A}_m(z) \quad \Rightarrow \quad H(z) = \sum_{m=0}^M \nu_m \frac{\tilde{A}_m(z)}{A_M(z)}.$$

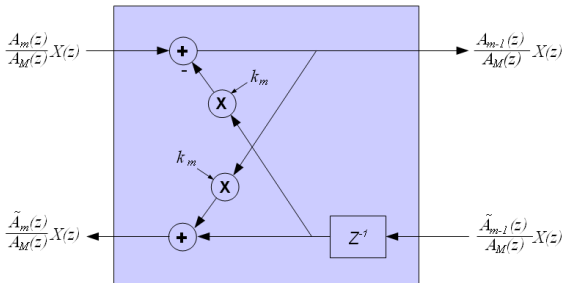
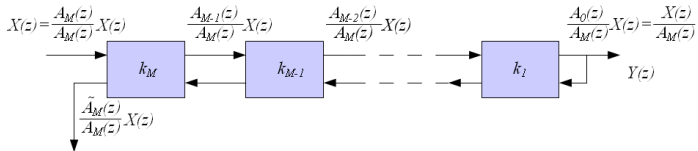
où on réécrit le système de récurrence prograde initial

$$\begin{cases} A_m(z) = A_{m-1}(z) + k_m z^{-1} \tilde{A}_{m-1}(z) \\ \tilde{A}_m(z) = k_m A_{m-1}(z) + z^{-1} \tilde{A}_{m-1}(z) \end{cases}$$

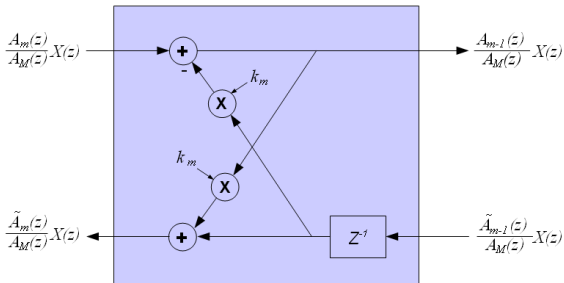
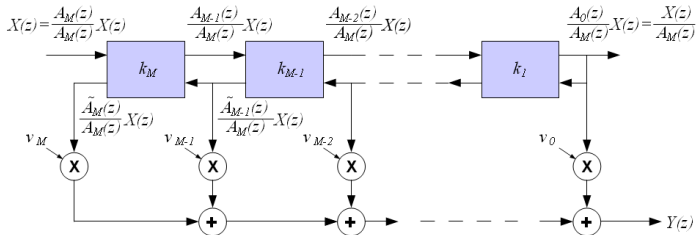
comme

$$\begin{cases} A_{m-1}(z) = A_m(z) - k_m z^{-1} \tilde{A}_{m-1}(z) \\ \tilde{A}_m(z) = k_m A_{m-1}(z) + z^{-1} \tilde{A}_{m-1}(z) \end{cases}$$

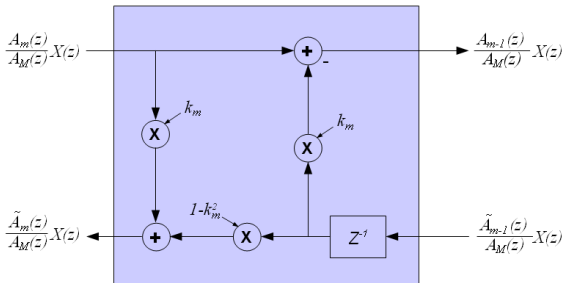
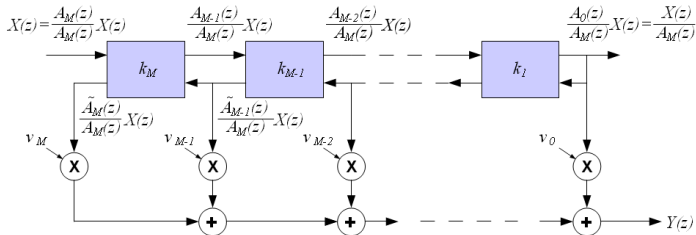
## Application à la synthèse de filtres RII



## Application à la synthèse de filtres RII



## Application à la synthèse de filtres RII



## Application à la synthèse de filtres RII

Dans la décomposition sur la base

$$P_M(z) = \sum_{m=0}^M \nu_m \tilde{A}_m(z)$$

les coefficients  $\{\nu_0, \dots, \nu_M\}$  sont calculés à l'aide de la récursion rétrograde ( $m = M, \dots, 2$ )

$$\begin{cases} P_{m-1}(z) &= P_m(z) - \nu_m \tilde{P}_{m-1}(z) \\ \nu_{m-1, m-1} &= p_{m-1, m-1}. \end{cases}$$

où  $P_m(z) = \sum_{k=0}^m p_{m,k} z^{-k}$  et  $\nu_0 = p_{0,0}$ .

## Plan du cours

Optimisation

Effets numériques

Structures non-standards

Structures treillis/échelle

Bases théoriques

Application à la synthèse de filtres RIF

Application à la synthèse de filtres RII

**Structures "rationnelles"**

Structures multi-cadences

Quelques notions théoriques

Banc de filtres à deux voies

Généralisation à  $M$  sous-bandes

Et la transformée en ondelettes discrète ?



## Décomposition en fractions "continues"

Soit le filtre à implanter de transmittance

$$H(z) = \frac{\sum_{k=0}^M b_k z^k}{\sum_{k=0}^M a_k z^k}.$$

On cherche à écrire  $H(z)$  sous la forme d'une fraction continue...  
Plusieurs formes existent<sup>13</sup>, par exemple

$$H(z) = A_0 + \frac{1}{B_1 z + \frac{1}{A_1 + \frac{1}{\vdots + \frac{1}{B_M z + \frac{1}{A_M}}}}}$$

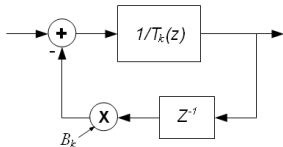
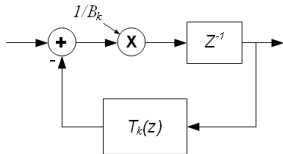
---

<sup>13</sup>Voir les conditions énoncées par Mitra & Sherwood (1972).

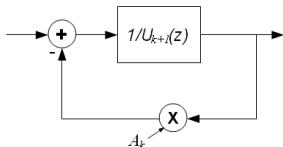
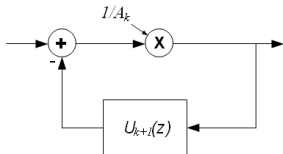
## Décomposition en fractions "continues"

On introduit les opérateurs élémentaires

►  $U_k(z) = \frac{1}{B_k z + T_k(z)}$  ( $k = 1, \dots, M$ )



►  $T_k(z) = \frac{1}{A_k + U_{k+1}(z)}$ , ( $k = 1, \dots, M - 1$ ) avec  $T_M(z) = \frac{1}{A_M}$ .



## Décomposition en fractions "continues"

La transmittance

$$H(z) = A_0 + \frac{1}{B_1z + \frac{1}{A_1 + \frac{1}{\vdots + \frac{1}{B_Mz + \frac{1}{A_M}}}}}$$

se réécrit

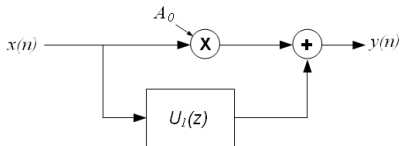
$$H(z) = A_0 + U_1(z)$$

avec

- ▶  $U_1(z) = \frac{1}{B_1z + T_1(z)}$ ,
- ▶  $T_1(z) = \frac{1}{A_1 + U_2(z)}$ ,
- ▶  $U_2(z) = \frac{1}{B_2z + T_2(z)}$ ,
- ▶ ...
- ▶  $T_M(z) = \frac{1}{A_M}$ .

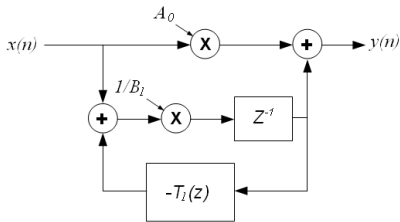
## Décomposition en fractions "continues"

D'où la structure en échelle (récursivité) avec  $U_1(z) = \frac{1}{B_1z + T_1(z)}$



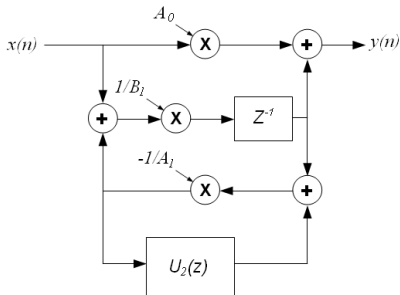
## Décomposition en fractions "continues"

D'où la structure en échelle (récursivité) avec  $T_1(z) = \frac{1}{A_1 + U_2(z)}$



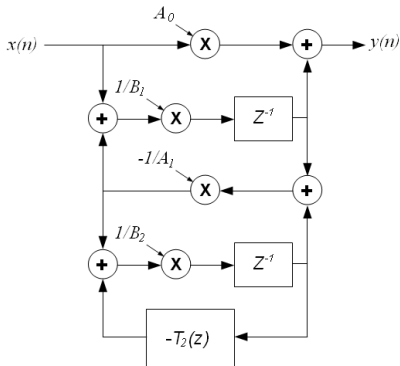
## Décomposition en fractions "continues"

D'où la structure en échelle (récursivité) avec  $U_2(z) = \frac{1}{B_2z + T_2(z)}$



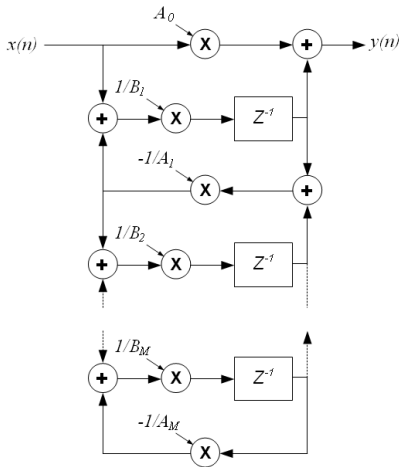
## Décomposition en fractions "continues"

D'où la structure en échelle (récursivité) avec  $T_2(z) = \frac{1}{A_2 + U_3(z)}$



## Décomposition en fractions "continues"

D'où la structure en échelle (récursivité)





## Décomposition en fractions "continues"

Calcul des  $\{A_0, \dots, A_M\}$  et  $\{B_1, \dots, B_M\}$

Algorithme (récuratif) d'Euclide : division euclidienne + inversion du reste.

Exemples

$$\begin{aligned} H(z) &= \frac{72z^2 + 78z + 9}{24z^2 + 18z^2 + 1} \\ &= 3 + \frac{1}{z + \frac{1}{2 + \frac{1}{3z + \frac{1}{4}}}} \end{aligned}$$

$$\begin{aligned} H(z) &= \frac{720z^2 + 240z + 12}{720z^3 + 600z^2 + 72z + 1} \\ &= \frac{1}{z + \frac{1}{2 + \frac{1}{3z + \frac{1}{4 + \frac{1}{5z + \frac{1}{6}}}}}} \end{aligned}$$

## Plan du cours

Optimisation

Effets numériques

Structures non-standards

Structures treillis/échelle

Bases théoriques

Application à la synthèse de filtres RIF

Application à la synthèse de filtres RII

Structures "rationnelles"

Structures multi-cadences

Quelques notions théoriques

Banc de filtres à deux voies

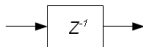
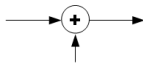
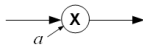
Généralisation à  $M$  sous-bandes

Et la transformée en ondelettes discrète ?

## Systemes multi-cadences ?

### Systeme mono-cadence

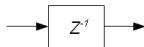
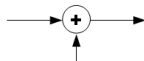
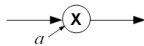
- ▶ amplificateur ( $\times$ ),
- ▶ sommateur (+),
- ▶ retard ( $\times z^{-1}$ ).



## Systemes multi-cadences ?

### Systeme mono-cadence

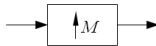
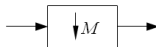
- ▶ amplificateur ( $\times$ ),
- ▶ sommateur ( $+$ ),
- ▶ retard ( $\times z^{-1}$ ).



### Systeme multi-cadence

Operateurs supplementaires :

- ▶ decimateur,
- ▶ interpolateur.



## Sous-échantillonnage (décimation)

Soit le signal  $y_D(n)$  version sous-échantillonnée (décimée) par un facteur  $M$  du signal  $x(n)$ :

$$y_D(n) = x(nM), \quad n \in \mathbb{Z}.$$

Dans le plan en  $z$ , le signal sous-échantillonné est représenté par

$$Y_D(z) = \frac{1}{M} \sum_{k=0}^{M-1} X\left(z^{\frac{1}{M}} \omega_M^k\right)$$

où  $\omega_M = e^{\frac{j2\pi}{M}}$ .

### Démonstration

▶ On introduit  $x_M(n) = x(n)u_M(n)$  où

$$u_M(n) = \begin{cases} 1, & \text{si } n \text{ divisible par } M; \\ 0, & \text{sinon.} \end{cases} = \frac{1}{M} \sum_{k=0}^{M-1} \omega_M^{-kn}$$

▶ On a  $Y_D(z) = X_M\left(z^{\frac{1}{M}}\right)$ ,

▶ On montre que  $X_M(z) = \frac{1}{M} \sum_{k=0}^{M-1} X\left(\omega_M^k z\right)$ .

## Sous-échantillonnage (décimation)

Soit le signal  $y_D(n)$  version sous-échantillonnée (décimée) par un facteur  $M$  du signal  $x(n)$ :

$$y_D(n) = x(nM), \quad n \in \mathbb{Z}.$$

Dans le plan en  $z$ , le signal sous-échantillonné est représenté par

$$Y_D(z) = \frac{1}{M} \sum_{k=0}^{M-1} X\left(z^{\frac{1}{M}} \omega_M^k\right)$$

où  $\omega_M = e^{\frac{j2\pi}{M}}$ .

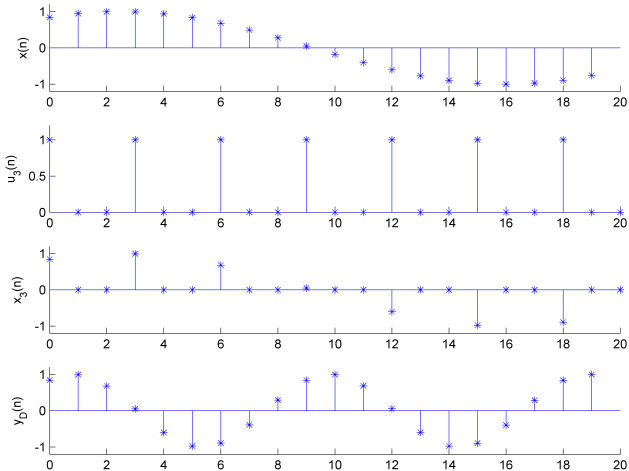
### Démonstration

- ▶ On introduit  $x_M(n) = x(n)u_M(n)$  où

$$u_M(n) = \begin{cases} 1, & \text{si } n \text{ divisible par } M; \\ 0, & \text{sinon.} \end{cases} = \frac{1}{M} \sum_{k=0}^{M-1} \omega_M^{-kn}$$

- ▶ On a  $Y_D(z) = X_M\left(z^{\frac{1}{M}}\right)$ ,
- ▶ On montre que  $X_M(z) = \frac{1}{M} \sum_{k=0}^{M-1} X\left(\omega_M^k z\right)$ .

## Sous-échantillonnage (décimation)



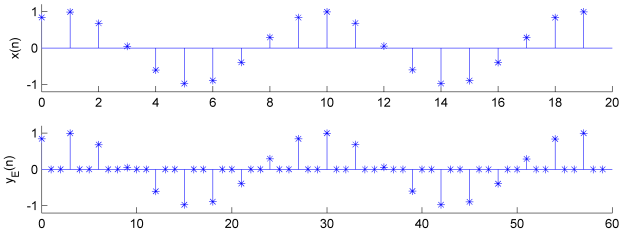
## Sur-échantillonnage (insertion)

De même, soit le signal  $y_E(n)$  version sur-échantillonnée (interpolation par insertion de zéro) par un facteur  $L$  du signal  $x(n)$ :

$$y_E(n) = \begin{cases} x\left(\frac{n}{L}\right), & \text{si } n \text{ est divisible par } L; \\ 0, & \text{sinon.} \end{cases}$$



## Sur-échantillonnage (insertion)



## Sur-échantillonnage (insertion)

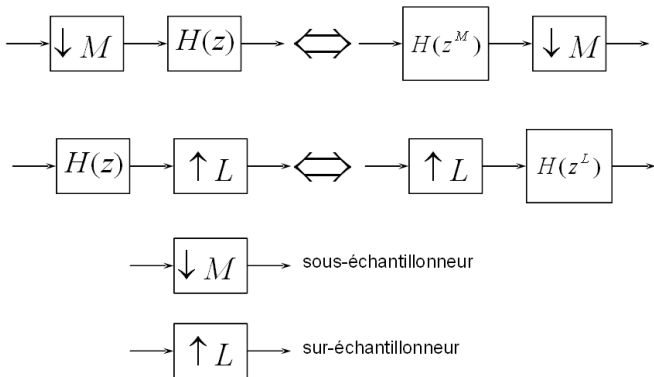
De même, soit le signal  $y_E(n)$  version sur-échantillonnée (interpolation par insertion de zéro) par un facteur  $L$  du signal  $x(n)$ :

$$y_E(n) = \begin{cases} x\left(\frac{n}{L}\right), & \text{si } n \text{ est divisible par } L; \\ 0, & \text{sinon.} \end{cases}$$

Dans le plan en  $z$ , le signal sur-échantillonné est représenté par

$$Y_E(z) = X(z^L).$$

## Identités nobles<sup>14</sup>



<sup>14</sup>P. P. Vaidyanathan, "Multirate digital filters, filter banks, polyphase networks, and applications: a tutorial," *Proc. of the IEEE*, vol. 78, no. 1, pp. 56-93, Jan. 1990.

## Représentation polyphase<sup>15</sup>

On décompose la réponse impulsionnelle en deux sous-suites d'échantillons (pairs et impairs):

$$\{h(n)\}_{n \in \mathbb{Z}} = \{h(2m)\}_{m \in \mathbb{Z}} \cup \{h(2m+1)\}_{m \in \mathbb{Z}}$$

La transmittance résultante s'écrit

$$\begin{aligned} H(z) &= \sum_{n \in \mathbb{Z}} h(n)z^{-n} \\ &= \underbrace{\sum_m h(2m)z^{-2m}}_{E_0(z^2)} + \underbrace{\sum_m h(2m+1)z^{-(2m+1)}}_{z^{-1}E_1(z^2)} \end{aligned}$$

avec les deux sous-suites :

$$\begin{aligned} E_0(z) &= \text{TZ}[e_0(n)] = \text{TZ}[h(2m)] \\ E_1(z) &= \text{TZ}[e_1(n)] = \text{TZ}[h(2m+1)] \end{aligned}$$

<sup>15</sup>M. Bellanger, *Traitement Numérique du Signal*, Masson, 1994.

## Représentation polyphase

Pour généraliser, on décompose la RI sur les  $M$  sous-suites (polyphases) provenant de sous-échantillonnage de facteur  $M$ :

$$\{h(n)\}_{n \in \mathbb{Z}} = \bigcup_{\ell=0}^{M-1} \{h(Mm + \ell)\}_{m \in \mathbb{Z}}$$

La transmittance résultante s'écrit

$$\begin{aligned} H(z) &= \sum_{n \in \mathbb{Z}} h(n) z^{-n} \\ &= E_0(z^M) + z^{-1} E_1(z^M) + \dots + z^{-(M-1)} E_{M-1}(z^M) \\ &= \sum_{\ell=0}^{M-1} z^{-\ell} E_{\ell}(z^M) \end{aligned}$$

avec les  $M$  sous-suites ( $\ell = 1, \dots, M-1$ ):

$$E_{\ell}(z) = \text{TZ}[e_{\ell}(m)] \quad \text{avec} \quad e_{\ell}(m) = h(Mm + \ell).$$

## Représentation polyphase

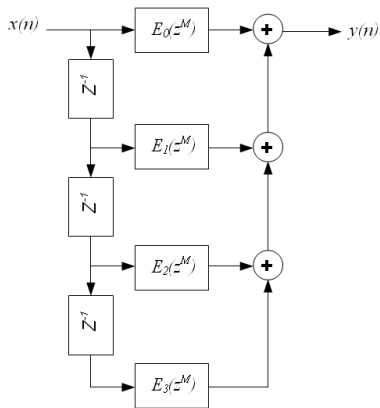
Exemple  $M = 4$

Soit un filtre RIF d'ordre 11

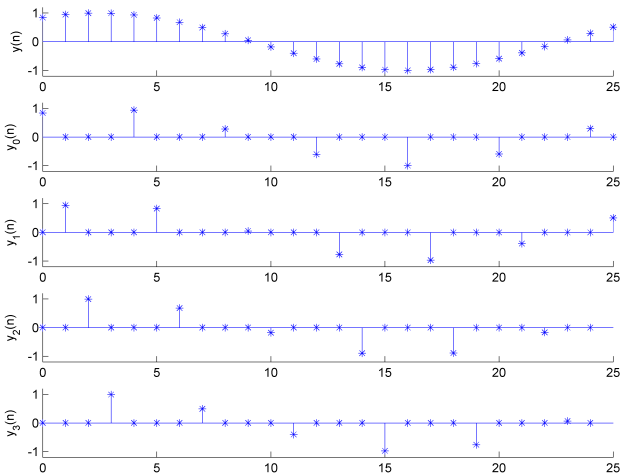
$$\begin{aligned}
 H(z) &= \sum_{n=0}^{10} b_k z^{-n} \\
 &= E_0(z^4) + z^{-1} E_1(z^4) \\
 &+ z^{-2} E_2(z^4) + z^{-3} E_3(z^4)
 \end{aligned}$$

avec

$$\begin{aligned}
 E_0(z) &= b_0 + b_4 z^{-1} + b_8 z^{-2} \\
 E_1(z) &= b_1 + b_5 z^{-1} + b_9 z^{-2} \\
 E_2(z) &= b_2 + b_6 z^{-1} + b_{10} z^{-2} \\
 E_3(z) &= b_3 + b_7 z^{-1}
 \end{aligned}$$



## Représentation polyphase



## Plan du cours

Optimisation

Effets numériques

Structures non-standards

Structures treillis/échelle

Bases théoriques

Application à la synthèse de filtres RIF

Application à la synthèse de filtres RII

Structures "rationnelles"

Structures multi-cadences

Quelques notions théoriques

Banc de filtres à deux voies

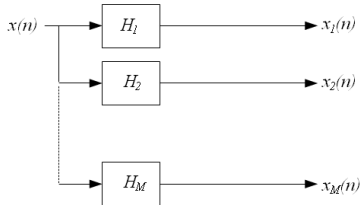
Généralisation à  $M$  sous-bandes

Et la transformée en ondelettes discrète ?



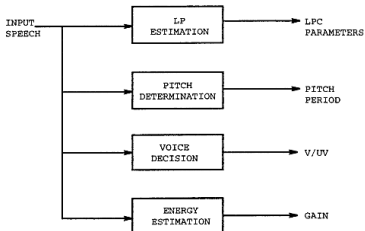
## Multi-cadence et banc de filtres

*Banc de filtres : analyse*



## Multi-cadence et banc de filtres

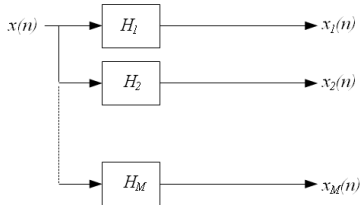
*Vocodeur LPC (cours "Compression parole et musique", Corinne Mailhes)*



## Multi-cadence et banc de filtres

- ▶ Enjeu n°1 : complexité des calculs

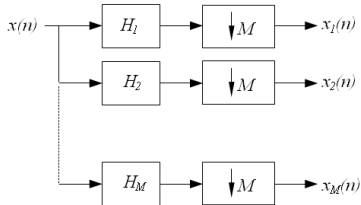
*Banc de filtres : analyse*



## Multi-cadence et banc de filtres

- ▶ Enjeu n°1 : complexité des calculs  
⇒ réduire la cadence (sous-échantillonnage)

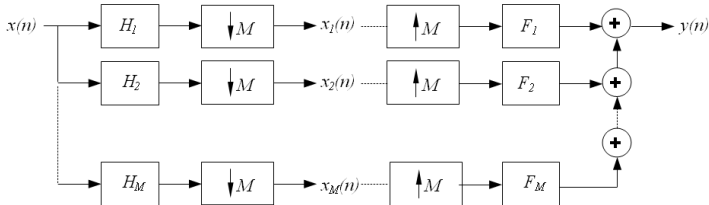
### *Banc de filtres : analyse*



## Multi-cadence et banc de filtres

- ▶ Enjeu n°1 : complexité des calculs  
⇒ réduire la cadence (sous-échantillonnage)
- ▶ Enjeu n°2 : reconstruction ( $\Leftrightarrow$  synthèse)

*Banc de filtres : analyse/synthèse*



## Multi-cadence et banc de filtres Applications

- ▶ **Vocodeurs**<sup>16</sup>,  
Ici, slide 43  
Ici, slide 27-28
- ▶ **Décomposition en sous-bandes : codage avec perte**<sup>17</sup>,  
Ici, slide 39
- ▶ **Décomposition en sous-bandes : analyse multi-résolution**<sup>18</sup>,  
Ici
- ▶ **Décomposition en sous-bandes : estimation spectrale**,  
Bonacci *et al.*, ICASSP 2002.  
Bonacci *et al.*, EUSIPCO 2002.

---

<sup>16</sup>Cours "Compression parole et musique", Corinne Mailhes.

<sup>17</sup>Cours "Compression", Corinne Mailhes.

<sup>18</sup>Cours "Représentation et analyse des signaux", Marie Chabert.

## Plan du cours

Optimisation

Effets numériques

Structures non-standards

Structures treillis/échelle

Bases théoriques

Application à la synthèse de filtres RIF

Application à la synthèse de filtres RII

Structures "rationnelles"

Structures multi-cadences

Quelques notions théoriques

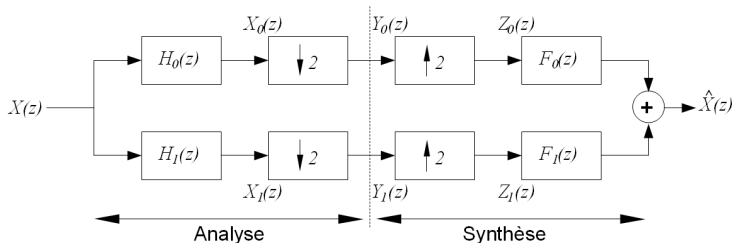
Banc de filtres à deux voies

Généralisation à  $M$  sous-bandes

Et la transformée en ondelettes discrète ?

## Problème d'analyse/synthèse à 2 voies

Soit le problème générique d'analyse/synthèse  $X(z) \rightarrow \hat{X}(z)$  défini par



D'après ce qui précède (sur/sous-échantillonnage):

$$\begin{cases} Y_m(z) = \frac{1}{2} \left[ X_m \left( z^{1/2} \right) + X_m \left( -z^{1/2} \right) \right] \\ Z_m(z) = Y_m \left( z^2 \right) \end{cases}$$



## Problème d'analyse/synthèse à 2 voies

Avec  $X_m(z) = H_m(z)X(z)$  et  $\hat{X}(z) = F_0(z)Z_0(z) + F_1(z)Z_1(z)$ , il vient:

$$\begin{aligned}\hat{X}(z) &= \frac{1}{2} [H_0(z)F_0(z) + H_1(z)F_1(z)] X(z) \\ &\quad + \frac{1}{2} [H_0(-z)F_0(z) + H_1(-z)F_1(z)] X(-z) \\ &= T(z)X(z) + A(z)X(-z)\end{aligned}$$

où

$$\begin{cases} T(z) = \frac{1}{2} [H_0(z)F_0(z) + H_1(z)F_1(z)] & \text{est la fonction de distorsion} \\ A(z) = \frac{1}{2} [H_0(-z)F_0(z) + H_1(-z)F_1(z)] & \text{est la fonction d'aliasing} \end{cases}$$

## Problème d'analyse/synthèse à 2 voies

Avec  $X_m(z) = H_m(z)X(z)$  et  $\hat{X}(z) = F_0(z)Z_0(z) + F_1(z)Z_1(z)$ , il vient:

$$\begin{aligned}\hat{X}(z) &= \frac{1}{2} [H_0(z)F_0(z) + H_1(z)F_1(z)] X(z) \\ &\quad + \frac{1}{2} [H_0(-z)F_0(z) + H_1(-z)F_1(z)] X(-z) \\ &= T(z)X(z) + A(z)X(-z)\end{aligned}$$

où

$$\begin{cases} T(z) = \frac{1}{2} [H_0(z)F_0(z) + H_1(z)F_1(z)] & \text{est la fonction de distorsion} \\ A(z) = \frac{1}{2} [H_0(-z)F_0(z) + H_1(-z)F_1(z)] & \text{est la fonction d'aliasing} \end{cases}$$

Mais l'opérateur  $\mathcal{R} : X(z) \rightarrow X(-z)$  n'est pas un filtre LIT donc :

Il n'existe pas  $\{h(n)\}_{n \in \mathbb{Z}}$  tel que  $\hat{x}(n) = h(n) * x(n)...$

## Problème d'analyse/synthèse à 2 voies

Avec  $X_m(z) = H_m(z)X(z)$  et  $\hat{X}(z) = F_0(z)Z_0(z) + F_1(z)Z_1(z)$ , il vient:

$$\begin{aligned}\hat{X}(z) &= \frac{1}{2} [H_0(z)F_0(z) + H_1(z)F_1(z)] X(z) \\ &\quad + \frac{1}{2} [H_0(-z)F_0(z) + H_1(-z)F_1(z)] X(-z) \\ &= T(z)X(z) + A(z)X(-z)\end{aligned}$$

où

$$\begin{cases} T(z) = \frac{1}{2} [H_0(z)F_0(z) + H_1(z)F_1(z)] & \text{est la fonction de distorsion} \\ A(z) = \frac{1}{2} [H_0(-z)F_0(z) + H_1(-z)F_1(z)] & \text{est la fonction d'aliasing} \end{cases}$$

Mais l'opérateur  $\mathcal{R} : X(z) \rightarrow X(-z)$  n'est pas un filtre LIT donc :

Il n'existe pas  $\{h(n)\}_{n \in \mathbb{Z}}$  tel que  $\hat{x}(n) = h(n) * x(n) \dots$

... sauf si la **condition de non-repliement** est vérifiée :

$$A(z) = H_0(-z)F_0(z) + H_1(-z)F_1(z) = 0$$

## Problème d'analyse/synthèse à 2 voies

La condition de non-repliement s'énonce :

$$\frac{F_0(z)}{H_1(-z)} = -\frac{F_1(z)}{H_0(-z)} = C(z)$$

En sortie de la chaîne d'analyse/synthèse

$$\begin{aligned}\hat{X}(z) &= \frac{1}{2} \left[ \underbrace{H_0(z)H_1(-z)}_{V(z)} - \underbrace{H_1(z)H_0(-z)}_{V(-z)} \right] C(z)X(z) \\ &= T(z)X(z)\end{aligned}$$

avec  $T(z) = \frac{1}{2} [V(z) - V(-z)] C(z)$ .

Une condition suffisante (mais non nécessaire) est  $C(z) = 1$ , alors

$$\begin{cases} F_0(z) &= H_1(-z) \\ F_1(z) &= -H_0(-z) \end{cases}$$

## Filtres Miroirs en Quadrature (QMF)

### *Solution historique*

Filtres Miroirs en Quadrature (FMQ/QMF) définis par les relations

$$\begin{cases} C(z) &= 1 \\ H_1(z) &= H_0(-z) \end{cases} \quad (2)$$

Dans ce cas

$$\hat{X}(z) = \frac{1}{2} \left[ H_0(z)^2 - H_0(-z)^2 \right] X(z)$$

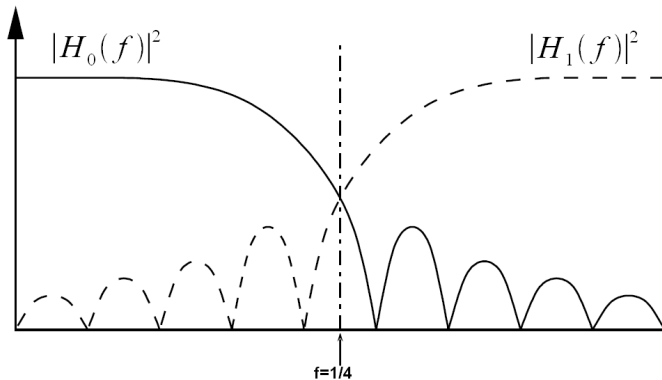
Sur le cercle  $C(0,1)$ , la relation (2) se résume à

$$H_1\left(e^{2i\pi f}\right) = H_0\left(-e^{2i\pi f}\right) = H_0\left(e^{2i\pi(f+1/2)}\right)$$

Si on considère les modules de  $H_1$  et  $H_0$ , alors il vient que  $|H_1(e^{2i\pi f})|$  est le réfléchi de  $|H_0(e^{2i\pi f})|$  par rapport au plan  $f = \frac{1}{4}$ .

→ Si  $H_0$  est un filtre passe-bas, alors  $H_1$  est un passe-haut.

## Filtres Miroirs en Quadrature (QMF)



## Filtres Miroirs en Quadrature (QMF) Représentation polyphase

Avec  $H_1(z) = H_0(-z)$  :

$$\hat{X}(z) = \frac{1}{2} [H_0(z)^2 - H_0(-z)^2] X(z)$$

On décompose  $H_0(z)$  selon ses 2 termes biphasés :

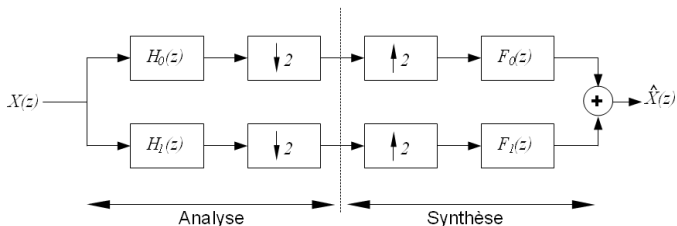
$$H_0(z) = E_0(z^2) + z^{-1}E_1(z^2).$$

Les filtres d'analyse s'écrivent donc :

$$\begin{pmatrix} H_0(z) \\ H_1(z) \end{pmatrix} = \begin{pmatrix} 1 & 1 \\ 1 & -1 \end{pmatrix} \begin{pmatrix} E_0(z^2) \\ z^{-1}E_1(z^2) \end{pmatrix}$$

## Filtres Miroirs en Quadrature (QMF) Représentation polyphase

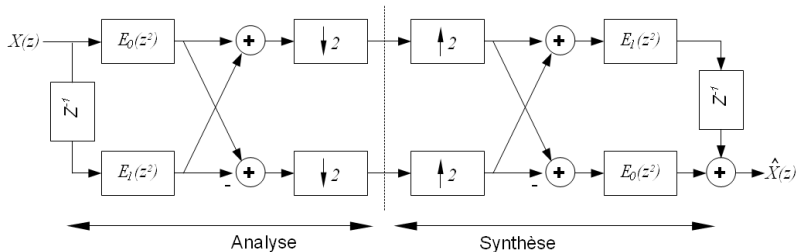
Problème analyse/synthèse :





## Filtres Miroirs en Quadrature (QMF) Représentation polyphase

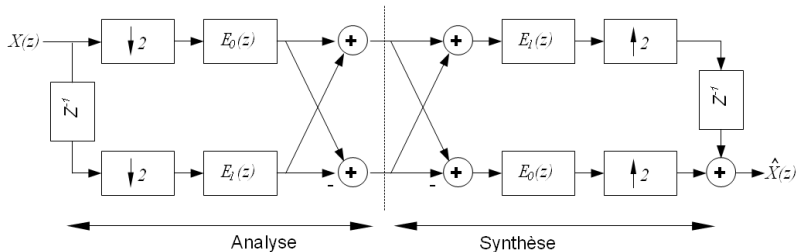
Condition de non-repliement et décomposition polyphase :



## Filtres Miroirs en Quadrature (QMF)

### Représentation polyphase

Identités nobles :



## Problème d'analyse/synthèse à 2 voies

Sur le cercle  $C(0, 1)$ , on écrit  $T(e^{2i\pi f}) = |T(e^{2i\pi f})| e^{i\phi(2\pi f)}$

Plusieurs cas intéressants possibles :

- ▶ Si  $T(z)$  est un passe-tout, i.e.,  $|T(e^{2i\pi f})| = d$ , alors

$$|\hat{X}(e^{2i\pi f})| = d |X(e^{2i\pi f})|$$

→ Filtres à conservation d'amplitude (mais distorsion de phase).

- ▶ Si  $T(z)$  est à phase linéaire, i.e.,  $\phi(2\pi f) = \alpha 2\pi f + \beta$ , alors

$$\begin{aligned} \arg[\hat{X}(e^{2i\pi f})] &= \arg[T(e^{2i\pi f})] + \arg[\hat{X}(e^{2i\pi f})] \\ &= \alpha 2\pi f + \beta + \arg[\hat{X}(e^{2i\pi f})] \end{aligned}$$

→ Filtres à conservation de phase (mais distorsion d'amplitude).

## Problème d'analyse/synthèse à 2 voies

- ▶ Si le banc de filtre a ni distorsion d'amplitude, ni distorsion de phase

$$\exists L \geq 1, T(z) = Kz^{-L}$$

Alors en sortie

$$\begin{aligned} |\hat{X}(e^{2i\pi f})| &= K |X(e^{2i\pi f})| \\ \arg[\hat{X}(e^{2i\pi f})] &= \arg[X(e^{2i\pi f})] - L2\pi f \end{aligned}$$

- Sortie retardée et amplifiée/atténuée.
- Banc de filtres à **reconstruction parfaite**.

## Banc de filtres à reconstruction parfaite

On introduit le filtre produit  $V(z) = H_0(z)H_1(-z)$

$$\hat{X}(z) = \frac{1}{2} \left[ \underbrace{H_0(z)H_1(-z)}_{V(z)} - \underbrace{H_1(z)H_0(-z)}_{V(-z)} \right] X(z)$$

Pour avoir  $T(z) = Kz^{-L}$  dans la chaîne d'analyse/synthèse ( $L$  impair) :

$$\begin{aligned} T(z) &= \frac{1}{2} [V(z) - V(-z)] = Kz^{-L} \\ \Leftrightarrow & \\ \begin{cases} v(2n+1) &= K\delta(2n+1-L) \\ v(2n) &\text{quelconque} \end{cases} & \\ \Leftrightarrow & \\ V(z) &= Kz^{-L} + \sum_n v(2n)z^{-2n}. \end{aligned}$$

## Banc de filtres à reconstruction parfaite

Trois méthodes de synthèse :

1. On constitue  $V(z)$  tel que

$$v(n) = \begin{cases} K\delta(n-L) & \text{si } n \text{ impair} \\ \text{quelconque} & \text{si } n \text{ pair} \end{cases}$$

puis on factorise  $V(z) = H_0(z)H_1(z)$ .

2. On se donne  $H_0(z)$  et on résoud (calcul matriciel)

$$H_0(z)H_1(-z) - H_0(-z)H_1(z) = Kz^{-L}$$

3. On choisit  $\{H_0(z), H_1(z)\}$  dans des familles qui conviennent  
→ CQF...

## Filtres conjugués en quadrature (CQF)

On choisit  $H_0$  et  $H_1$  tels que

$$\begin{cases} H_0(z)H_0(z^{-1}) + H_0(-z)H_0(-z^{-1}) = 1 & \text{(a)} \\ H_1(z)H_1(z^{-1}) + H_1(-z)H_1(-z^{-1}) = 1 & \text{(b)} \\ H_0(z)H_1(z^{-1}) + H_0(-z)H_1(-z^{-1}) = 0 & \text{(c)} \end{cases}$$

### Propriété

Soit  $H_0(z)$ , RIF vérifiant (a). Alors<sup>19</sup>

- ▶  $H_0(z)$  est de longueur paire (ordre impair),
- ▶ Une CNS pour que  $H_1(z)$  RIF vérifie (b) et (c) est

$$H_1(z) = \pm z^{-L} H_0(-z^{-1}), \quad L \text{ impair}$$

Dans ce cas,  $T(z) = z^{-L}$ .

---

<sup>19</sup>Vetterli, *IEEE Trans. SP*, 1992.

## Filtres conjugués en quadrature (CQF)

Solution "classique" de Smith et Barnwell (pour  $L$  impair et  $z = e^{2i\pi f}$ ) :

$$H_1(z) = -z^{-L}\tilde{H}_0(-z) \quad \text{avec} \quad \tilde{H}_0(z) = H_0\left(\frac{1}{z}\right)$$

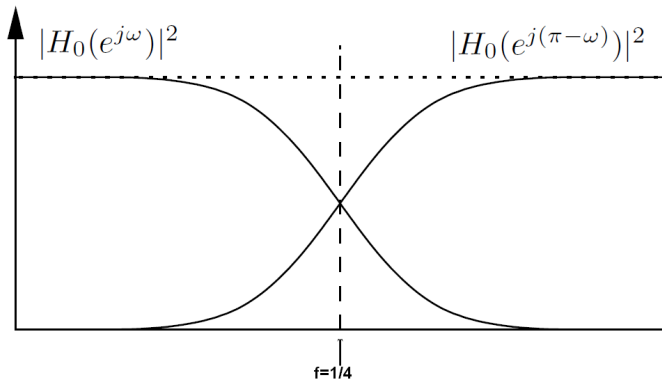
On a alors :

- symétrie en puissance :

$$\left|H_0\left(e^{j2\pi f}\right)\right|^2 + \left|H_0\left(e^{j(2\pi f+\pi)}\right)\right|^2 = 1.$$



## Filtres conjugués en quadrature (CQF)



## Filtres conjugués en quadrature (CQF)

Solution "classique" de Smith et Barnwell (pour  $L$  impair et  $z = e^{2i\pi f}$ ) :

$$H_1(z) = -z^{-L}\tilde{H}_0(-z) \quad \text{avec} \quad \tilde{H}_0(z) = H_0\left(\frac{1}{z}\right)$$

On a alors :

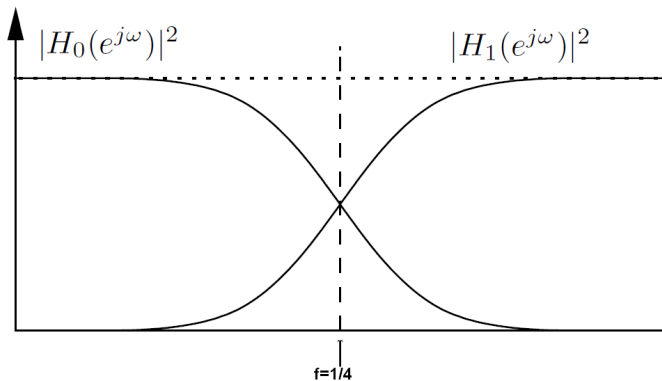
- ▶ symétrie en puissance :

$$\left|H_0\left(e^{j2\pi f}\right)\right|^2 + \left|H_0\left(e^{j(2\pi f+\pi)}\right)\right|^2 = 1.$$

- ▶ complémentarité en puissance :

$$\left|H_0\left(e^{j2\pi f}\right)\right|^2 + \left|H_1\left(e^{j2\pi f}\right)\right|^2 = 1.$$

## Filtres conjugués en quadrature (CQF)



## Filtres conjugués en quadrature (CQF)

Banc de filtres complètement défini par  $H_0(z)$  :

$$\begin{aligned}h_0(n) & \text{ donné} \\h_1(n) & = (-1)^n h_0(L - n) \\f_0(n) & = h_0(L - n) \\f_1(n) & = -(-1)^n h_0(n)\end{aligned}$$

### Remarques

- ▶ Si  $H_0(z)$  est un filtre RII stable,  $H_1(z)$  est instable !  
→ réalisation non-applicable...  
→ implantation à l'aide de RIF.
- ▶ Si  $H_0(z)$  est causal,  $H_0\left(-\frac{1}{z}\right)$  est anticausal. D'où le retard introduit  $z^{-L}$  !  
( $H_1(z)$  devient causal si  $L \geq$  ordre du filtre RIF  $H_0(z)$ ).

## Filtres conjugués en quadrature (CQF)

### Synthèse par factorisation spectrale

On pose  $P(z) = H_0(z)\tilde{H}_0(-z)$  (filtre demi-bande). On a alors :

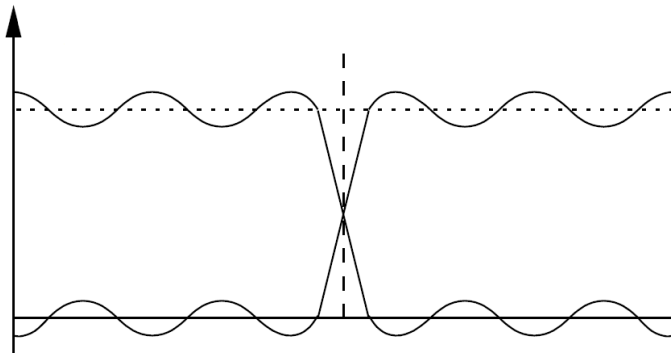
$$P(z) + P(-z) = 1, \text{ i.e., } P(z) = \frac{1}{2} + \sum_k p(2k+1)z^{-(2k+1)}.$$

1. Synthèse d'un filtre demi-bande  $Q(z)$  à phase nulle tel que

$$Q(e^{j2\pi f}) + Q(e^{j(2\pi f+\pi)}) = 1. \quad (3)$$

## Filtres conjugués en quadrature (CQF)

Synthèse par factorisation spectrale



## Filtres conjugués en quadrature (CQF) Synthèse par factorisation spectrale

On pose  $P(z) = H_0(z)\tilde{H}_0(-z)$  (filtre demi-bande). On a alors :

$$P(z) + P(-z) = 1, \text{ i.e., } P(z) = \frac{1}{2} + \sum_k p(2k+1)z^{-(2k+1)}.$$

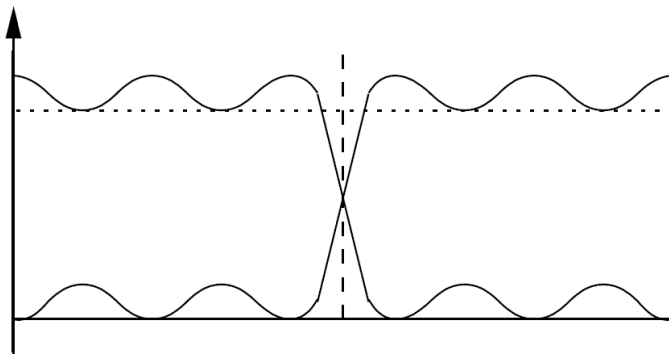
1. Synthèse d'un filtre demi-bande  $Q(z)$  à phase nulle tel que

$$Q(e^{j2\pi f}) + Q(e^{j(2\pi f+\pi)}) = 1. \quad (4)$$

2. On pose  $q'(n) = q(n) + \epsilon\delta(n)$  tel que  $Q'(e^{j2\pi f}) = |H_0(e^{j2\pi f})|^2 \geq 0$ .

## Filtres conjugués en quadrature (CQF)

Synthèse par factorisation spectrale





## Filtres conjugués en quadrature (CQF) Synthèse par factorisation spectrale

On pose  $P(z) = H_0(z)\tilde{H}_0(-z)$  (filtre demi-bande). On a alors :

$$P(z) + P(-z) = 1, \text{ i.e., } P(z) = \frac{1}{2} + \sum_k p(2k+1)z^{-(2k+1)}.$$

1. Synthèse d'un filtre demi-bande  $Q(z)$  à phase nulle tel que

$$Q(e^{j2\pi f}) + Q(e^{j(2\pi f+\pi)}) = 1. \quad (5)$$

2. On pose  $q'(n) = q(n) + \epsilon\delta(n)$  tel que  $Q'(e^{j2\pi f}) = |H_0(e^{j2\pi f})|^2 \geq 0$ .
3. On factorise  $Q'(z) = A \prod_i (1 - a_i z^{-1})(1 - a_i^{-1} z^{-1})$  (avec  $|a_i| \leq 1$ )
4. On définit le facteur spectral à minimum de phase

$$H_0(z) = \sqrt{\frac{A}{1+2\epsilon}} \prod_i (1 - a_i z^{-1}).$$

## Filtres conjugués en quadrature (CQF)

Autre méthode proposée par Daubechies<sup>20</sup> :

$$P(z) = (1 + z^{-1})^k (1 + z)^k R(z)$$

sous les contraintes

- ▶  $R(z)$  symétrique ( $R(z^{-1}) = R(z)$ ),
- ▶  $R(z)$  positif pour  $z = e^{j2\pi f}$
- ▶  $R(z)$  de degré minimal.

Puis factorisation de  $P(z)$  avec zéros à l'intérieur de  $C(0, 1)$   
→ Famille des filtres à minimum de phase de Daubechies.

Limitations des CQF :

- ▶ 1 seul degré de liberté pour l'analyse/synthèse:  $H_0(z)$ ,
- ▶ pas de banc avec filtres d'analyse et synthèse réels à phase linéaire.

---

<sup>20</sup>Daubechies, *Comm. Pure Appl. Math.*, 1998.

## Banc de filtres bi-orthogonaux

On choisit  $H_0$  et  $H_1$  tels que  $C(z) = -z^{-L}$  et

$$\begin{cases} H_0(z)F_0(z) + H_0(-z)F_0(-z) = 2 \\ H_1(z) = -z^L F_0(z^{-1}), L \text{ impair} \\ F_1(z) = z^{-L} H_0(-z) \end{cases}$$

Dans ce cas,  $T(z) = z^L$ . On pose  $P(z) = H_0(z)F_0(z)$  et il vient :

$$P(z) + P(-z) = 2$$

Méthode de synthèse :

1. On se donne  $P(z)$  (demi-bande, phase nulle, coefficients réels)
2. on factorise  $P(z) = H_0(z)F_0(z)$ 
  - 2 degrés de libertés.
  - banc de filtres à phase linéaire possible.

## Plan du cours

Optimisation

Effets numériques

Structures non-standards

Structures treillis/échelle

Bases théoriques

Application à la synthèse de filtres RIF

Application à la synthèse de filtres RII

Structures "rationnelles"

Structures multi-cadences

Quelques notions théoriques

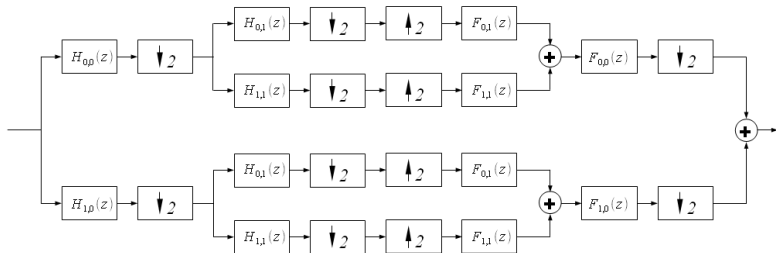
Banc de filtres à deux voies

Généralisation à  $M$  sous-bandes

Et la transformée en ondelettes discrète ?

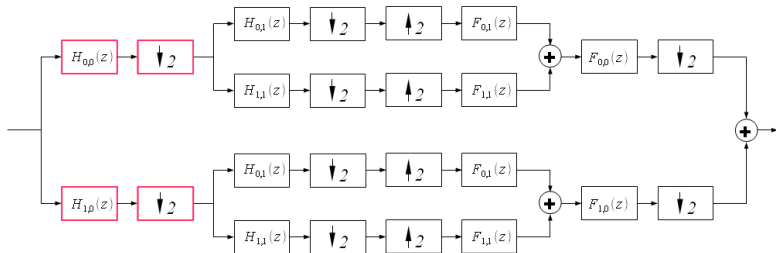
## Décomposition arborescente complète

(Décomposition en paquets d'ondelettes)



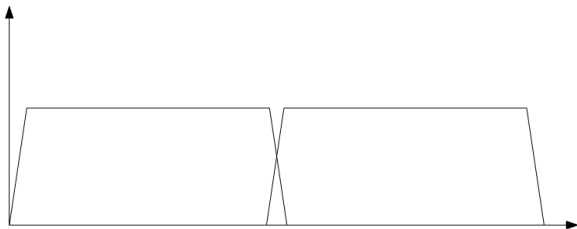
## Décomposition arborescente complète

(Décomposition en paquets d'ondelettes)



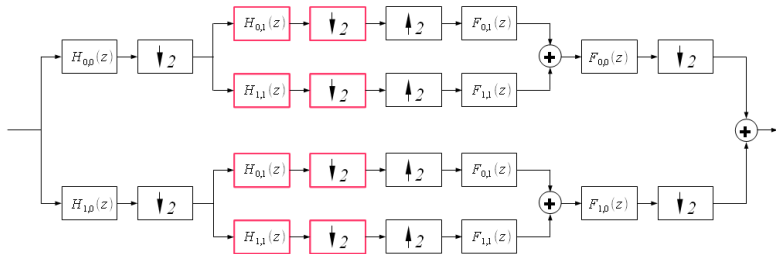
## Décomposition arborescente complète

(Décomposition en paquets d'ondelettes)



## Décomposition arborescente complète

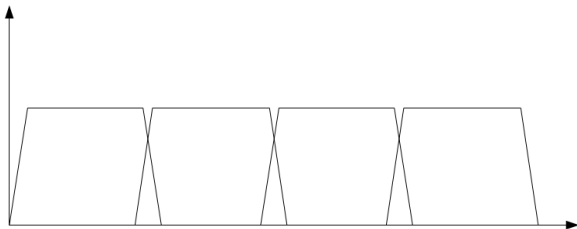
(Décomposition en paquets d'ondelettes)





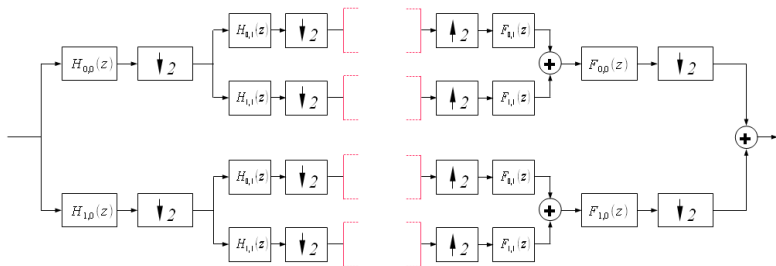
## Décomposition arborescente complète

(Décomposition en paquets d'ondelettes)



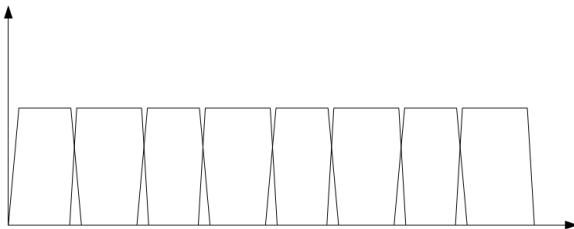
## Décomposition arborescente complète

(Décomposition en paquets d'ondelettes)



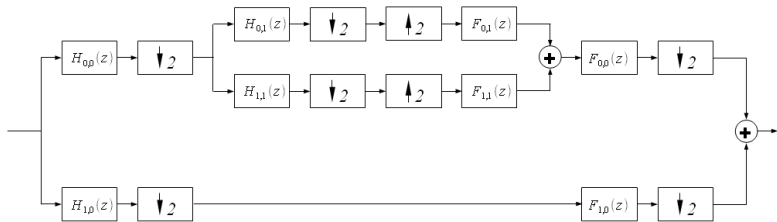
## Décomposition arborescente complète

(Décomposition en paquets d'ondelettes)



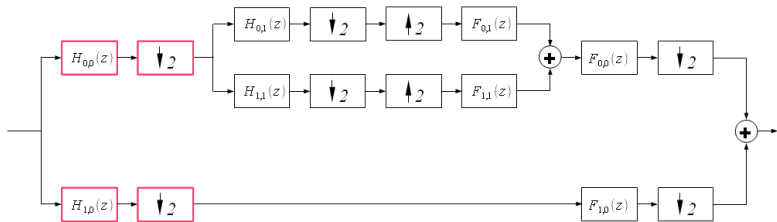
## Décomposition arborescente dyadique

(Décomposition en ondelettes discrètes dyadique)



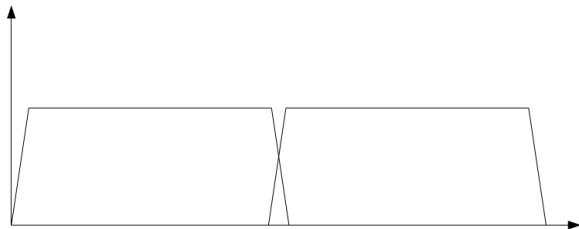
## Décomposition arborescente dyadique

(Décomposition en ondelettes discrètes dyadique)



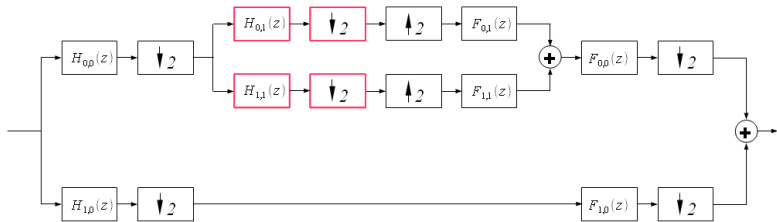
## Décomposition arborescente dyadique

(Décomposition en ondelettes discrètes dyadique)



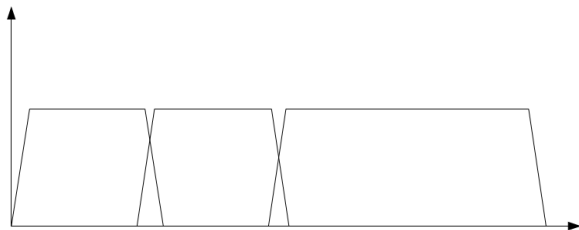
## Décomposition arborescente dyadique

(Décomposition en ondelettes discrètes dyadique)



## Décomposition arborescente dyadique

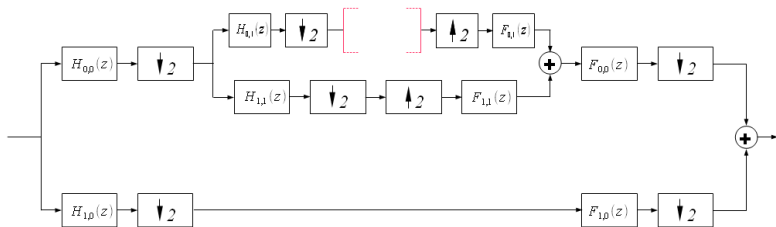
(Décomposition en ondelettes discrètes dyadique)





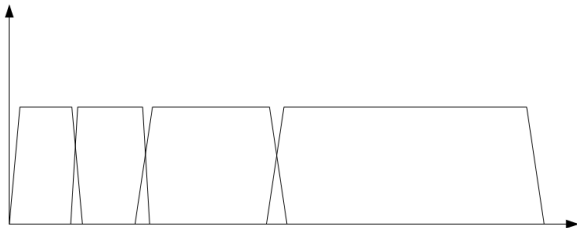
## Décomposition arborescente dyadique

(Décomposition en ondelettes discrètes dyadique)

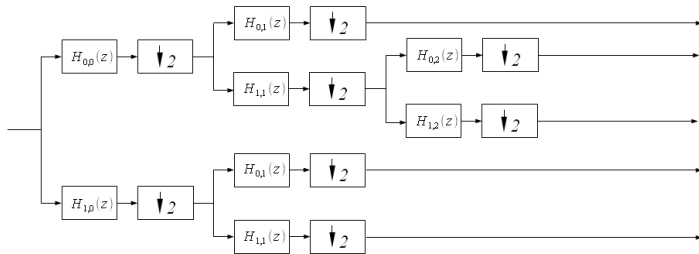


## Décomposition arborescente dyadique

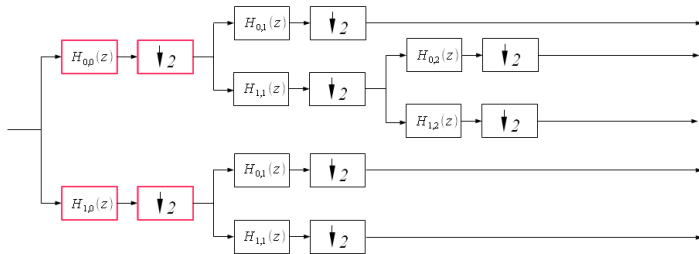
(Décomposition en ondelettes discrètes dyadique)



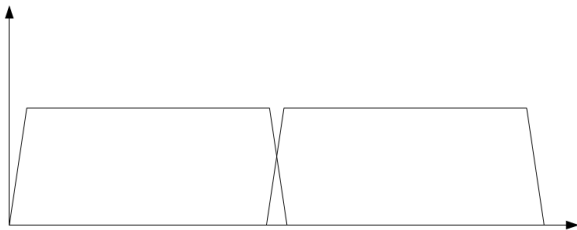
## Décomposition en sous-bande optimale



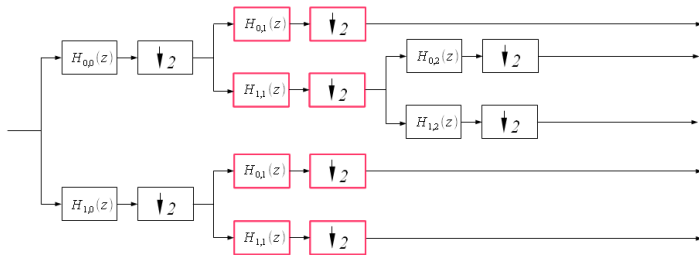
## Décomposition en sous-bande optimale



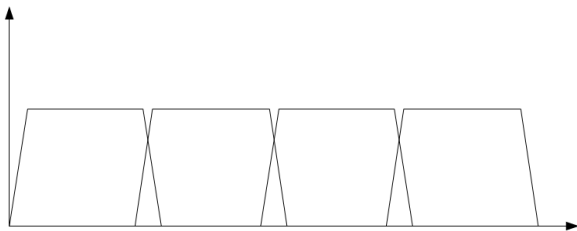
## Décomposition en sous-bande optimale



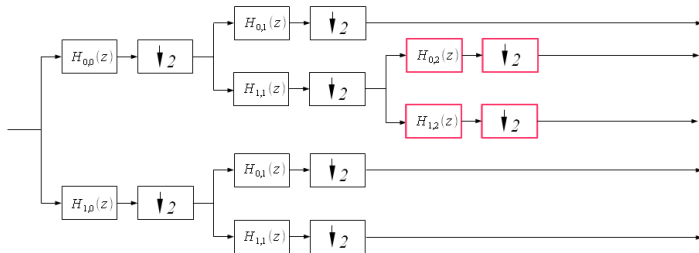
## Décomposition en sous-bande optimale



## Décomposition en sous-bande optimale

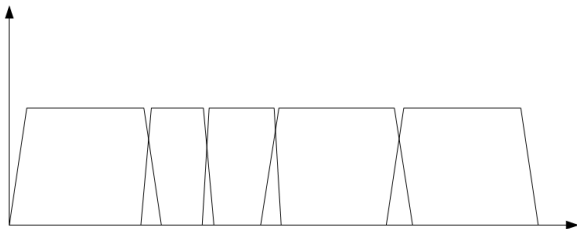


## Décomposition en sous-bande optimale



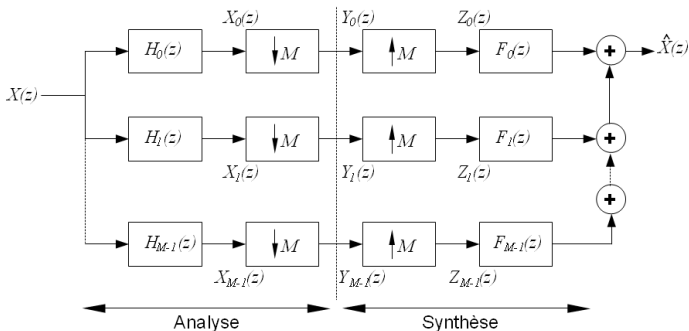


## Décomposition en sous-bande optimale



## Décomposition directe à $M$ voies

Les parties “analyse” et “synthèse” comportent  $M$  filtres en parallèle.



## Décomposition directe à $M$ voies

Comme précédemment, les propriétés de sur/sous-échantillonnage conduisent à :

$$\begin{aligned}\hat{X}(z) &= \frac{1}{M} \sum_{m=0}^{M-1} \left[ X(\omega_M^m z) \sum_{k=0}^{M-1} H_k(\omega_M^m z) F_k(z) \right] \\ &= \sum_{m=0}^{M-1} X(\omega_M^m z) A_m(z)\end{aligned}$$

avec  $A_m(z) = \frac{1}{M} \sum_{k=0}^{M-1} H_k(\omega_M^m z) F_k(z)$ .

## Décomposition directe à $M$ voies

Matriciellement :

$$\hat{X}(z) = \mathbf{a}(z)^T \mathbf{x}(z) = \frac{1}{M} \mathbf{f}(z)^T \mathbf{H}(z)^T \mathbf{x}(z)$$

avec

$$\underbrace{\begin{pmatrix} A_0(z) \\ A_1(z) \\ \vdots \\ A_{M-1}(z) \end{pmatrix}}_{\mathbf{a}(z)} = \frac{1}{M} \underbrace{\begin{pmatrix} \mathbf{h}(z)^T \\ \mathbf{h}(\omega_m z)^T \\ \vdots \\ \mathbf{h}(\omega_m^{M-1} z)^T \end{pmatrix}}_{\mathbf{H}(z)} \underbrace{\begin{pmatrix} F_0(z) \\ F_1(z) \\ \vdots \\ F_{M-1}(z) \end{pmatrix}}_{\mathbf{f}(z)}$$

et

$$\mathbf{h}(z) = \begin{pmatrix} H_0(z) \\ \vdots \\ H_{M-1}(z) \end{pmatrix} \quad \text{et} \quad \mathbf{x}(z) = \begin{pmatrix} X(z) \\ \vdots \\ X(\omega_M^{M-1} z) \end{pmatrix} ..$$

## Décomposition directe à $M$ voies

Mais, les opérateurs

$$\mathcal{R}_m : X(z) \rightarrow X(\omega_M^m z)$$

ne sont pas des filtres LIT (sauf pour  $m = 0$ ). Les conditions de non-repliement s'énoncent alors :

$$A_m(z) = 0, \quad \text{pour } m \neq 0$$

Si on se donne les filtres d'analyse (i.e.,  $\mathbf{H}(z)$ ), le problème se ramène à résoudre

$$\frac{1}{M} \mathbf{f}(z) = \mathbf{H}(z)^{-1} \mathbf{a}(z) \quad \text{avec} \quad \mathbf{a}(z) = \begin{pmatrix} T(z) \\ 0 \\ \vdots \\ 0 \end{pmatrix}$$

Dans le problème de reconstruction parfaite,  $T(z) \propto z^{-N}$ .

## Décomposition directe à $M$ voies

### Représentation polyphase

Les représentations polyphases des filtres d'analyse et synthèse sont

$$H_k(z) = \sum_{m=0}^{M-1} z^{-m} E_{k,m}(z^M)$$

$$F_k(z) = \sum_{m=0}^{M-1} z^{-m} E'_{k,m}(z^M) \triangleq \sum_{m=0}^{M-1} z^{-M-1-m} R_{k,m}(z^M)$$

On définit les matrices polyphases

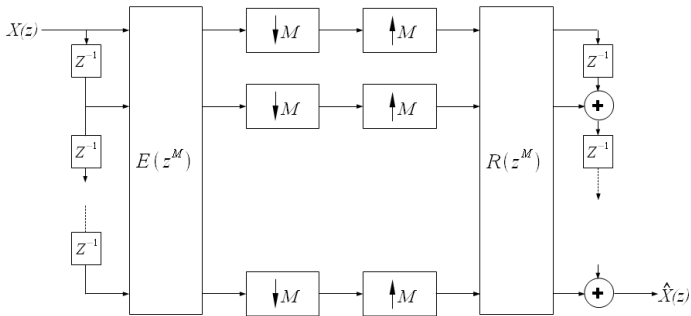
$$\mathbf{E}(z^M) \quad \text{tel que} \quad [\mathbf{E}(z^M)]_{k,m} = E_{k,m}(z^M)$$

$$\mathbf{R}(z^M) \quad \text{tel que} \quad [\mathbf{R}(z^M)]_{k,m} = R_{k,m}(z^M)$$

et

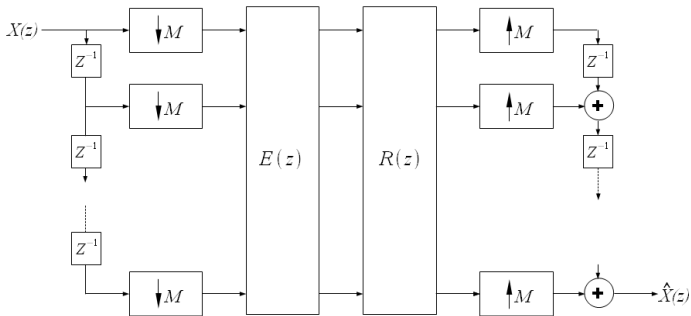
$$\mathbf{P}(z) = \mathbf{R}(z) \mathbf{E}(z).$$

## Décomposition directe à $M$ voies Représentation polyphase



## Décomposition directe à $M$ voies

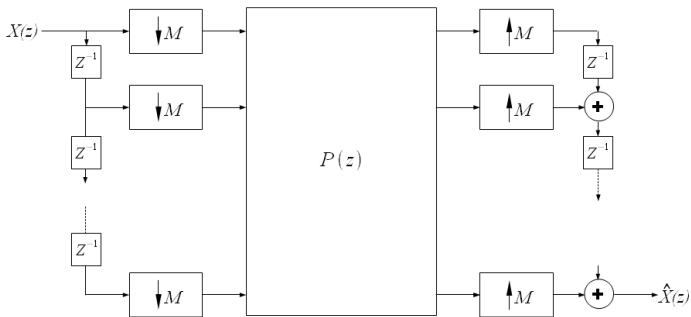
### Représentation polyphase





## Décomposition directe à $M$ voies

### Représentation polyphase



## Décomposition directe à $M$ voies

### Représentation polyphase

Vaidyanathan a énoncé de nombreuses propriétés<sup>21,22</sup>.

*Condition nécessaire et suffisante au non-repliement*

$\mathbf{P}(z)$  est pseudo-circulante, i.e.,

- ▶  $\mathbf{P}(z)$  est Toeplitz,
- ▶  $P_{k,0}(z) = z^{-1}P_{0,M-k}(z)$ ,  $k = 1, \dots, M - 1$

$$P(z) = [P_{k,m}(z)]_{k,m} = \begin{pmatrix} P_0(z) & P_1(z) & \dots & P_{M-1}(z) \\ z^{-1}P_{M-1}(z) & P_0(z) & \dots & P_{M-2}(z) \\ \vdots & \vdots & \ddots & \vdots \\ z^{-1}P_1(z) & \dots & z^{-1}P_{M-1}(z) & P_0(z) \end{pmatrix}$$

Dans ce cas, la fonction de transfert  $T(z)$  est

$$T(z) = z^{-(M-1)} \sum_{k=0}^{M-1} z^{-k} P_{0,k} \left( z^M \right).$$

<sup>21</sup>Vaidyanathan, *IEEE Trans. ASSP*, 1987.

<sup>22</sup>Vaidyanathan and Mitra, *IEEE Trans. ASSP*, 1988.

## Décomposition directe à $M$ voies

### Représentation polyphase

*Condition nécessaire et suffisante à la reconstruction parfaite*

On a  $T(z) \propto z^{-L}$  si et seulement si une des conditions suivantes est vérifiée

- ▶  $\mathbf{P}(z)$  est para-unitaire (et stable), i.e.,

$$\mathbf{P}(z)\tilde{\mathbf{P}}(z) = \mathbf{I}_M$$

avec  $\tilde{\mathbf{P}}(z) = \mathbf{P}\left(\frac{1}{z}\right)^T$  (pour des filtres à coefficients réels).

- ▶  $\exists K \in \mathbb{Z}$ ,  $\det[\mathbf{R}(z)] \det[\mathbf{E}(z)] \propto z^{-K}$ ,
- ▶ dans le cas de RIF,  $\exists K \in \mathbb{Z}$ ,  $\det[\mathbf{E}(z)] \propto z^{-K}$ ,

Une solution possible : filtres  $\{H_0, \dots, H_{M-1}\}$  para-unitaires :

$$\tilde{\mathbf{H}}(z)\mathbf{H}(z) = \mathbf{I}_M,$$

ce qui induit des filtres complémentaires en puissance :

$$\left|H_0(e^{j2\pi f})\right|^2 + \dots + \left|H_{M-1}(e^{j2\pi f})\right|^2 = 1.$$

## Plan du cours

Optimisation

Effets numériques

Structures non-standards

Structures treillis/échelle

Bases théoriques

Application à la synthèse de filtres RIF

Application à la synthèse de filtres RII

Structures "rationnelles"

Structures multi-cadences

Quelques notions théoriques

Banc de filtres à deux voies

Généralisation à  $M$  sous-bandes

Et la transformée en ondelettes discrète ?

## Cas du banc de filtres CQF

On rappelle que  $C(z) = 1$ , i.e.,

$$\begin{cases} F_0(z) &= H_1(-z) \\ F_1(z) &= -H_0(-z) \end{cases}$$

*Banc de filtres orthogonaux (2 voies)*

$$\begin{cases} H_0(z)H_0(z^{-1}) + H_0(-z)H_0(-z^{-1}) = 2 & \text{(a)} \\ H_1(z)H_1(z^{-1}) + H_1(-z)H_1(-z^{-1}) = 2 & \text{(b)} \\ H_0(z)H_1(z^{-1}) + H_0(-z)H_1(-z^{-1}) = 0 & \text{(c)} \end{cases}$$

est équivalent à

$$\begin{cases} \langle h_0(n), h_0(n-2k) \rangle = \delta(k) & \text{(a')} \\ \langle h_1(n), h_1(n-2k) \rangle = \delta(k) & \text{(b')} \\ \langle h_0(n), h_1(n-2k) \rangle = 0 & \text{(c')} \end{cases}$$

avec  $\langle a(n), b(n) \rangle = \sum_n a(n)b(n)$  ( $a$  et  $b$  réels).

## Cas du banc de filtres CQF

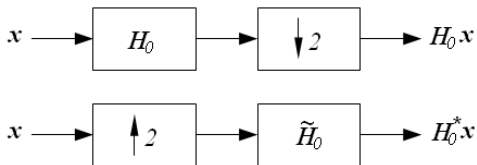
On introduit

$$\mathbf{x} = [\dots, x(-1), x(0), x(1), \dots]^T$$

et la matrice

$$\mathbf{H}_0 = \begin{pmatrix} \vdots & \vdots & \vdots & \vdots & \vdots & \vdots & \vdots & \vdots & \vdots & \vdots & \vdots \\ \dots & 0 & h_0(M-1) & h_0(M-2) & h_0(M-3) & \dots & h(0) & 0 & 0 & 0 & \dots \\ \dots & 0 & 0 & 0 & h_0(M-1) & \dots & h(2) & h(1) & h(0) & 0 & \dots \\ \vdots & \vdots & \vdots & \vdots & \vdots & \vdots & \vdots & \vdots & \vdots & \vdots & \vdots \end{pmatrix}$$

alors



avec  $\tilde{h}_0(n) = h_0(M-1-n) = f_0(n)$  ( $M$  impair).

## Cas du banc de filtres CQF

Que représente l'opérateur  $P_{\mathbf{H}_0} = \mathbf{H}_0^* \mathbf{H}_0$  ?

- ▶ On a, d'après (a),  $\mathbf{H}_0 \mathbf{H}_0^* = \mathbf{I}$ ,
- ▶  $\rightarrow$  Projection orthogonale sur l'espace  $\mathcal{V}_0 \triangleq \langle \mathbf{H}_0^* \rangle$  engendré par les colonnes de  $\mathbf{H}_0^*$ , c'est à dire les lignes de  $\mathbf{H}_0$ .

Peut-on compléter l'espace  $\mathcal{V}_0$  dans  $\mathcal{L}^2(\mathbb{Z}) \triangleq \{x(n), n \in \mathbb{Z} / \|x\|_2 < \infty\}$  ?

- ▶ On a, d'après (c),  $\mathbf{H}_0 \mathbf{H}_1^* = \mathbf{0}$ ,
- ▶  $\rightarrow \langle \mathbf{H}_0^* \rangle \perp \langle \mathbf{H}_1^* \rangle$
- ▶  $\rightarrow \mathcal{V}_0$  et  $\mathcal{W}_0 \triangleq \langle \mathbf{H}_1^* \rangle$  sont en somme directe orthogonale

Corrolaire

$$\mathbf{H}_0^* \mathbf{H}_0 + \mathbf{H}_1^* \mathbf{H}_1 = \mathbf{I}.$$

## Cas du banc de filtres CQF

Que représente l'opérateur  $P_{\mathbf{H}_0} = \mathbf{H}_0^* \mathbf{H}_0$  ?

- ▶ On a, d'après (a),  $\mathbf{H}_0 \mathbf{H}_0^* = \mathbf{I}$ ,
- ▶  $\rightarrow$  Projection orthogonale sur l'espace  $\mathcal{V}_0 \triangleq \langle \mathbf{H}_0^* \rangle$  engendré par les colonnes de  $\mathbf{H}_0^*$ , c'est à dire les lignes de  $\mathbf{H}_0$ .

Peut-on compléter l'espace  $\mathcal{V}_0$  dans  $\mathcal{L}^2(\mathbb{Z}) \triangleq \{x(n), n \in \mathbb{Z} / \|x\|_2 < \infty\}$  ?

- ▶ On a, d'après (c),  $\mathbf{H}_0 \mathbf{H}_1^* = \mathbf{0}$ ,
- ▶  $\rightarrow \langle \mathbf{H}_0^* \rangle \perp \langle \mathbf{H}_1^* \rangle$
- ▶  $\rightarrow \mathcal{V}_0$  et  $\mathcal{W}_0 \triangleq \langle \mathbf{H}_1^* \rangle$  sont en somme directe orthogonale

Corrolaire

$$\mathbf{H}_0^* \mathbf{H}_0 + \mathbf{H}_1^* \mathbf{H}_1 = \mathbf{I}.$$

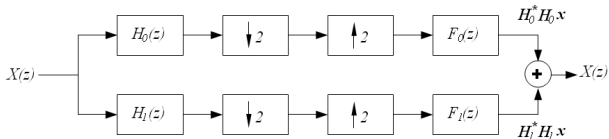


## Cas du banc de filtres CQF

### Interprétation

Le banc de filtre CQF définit une décomposition en sous-espaces de  $\mathcal{L}^2(\mathbb{Z})$ .

$$\mathcal{L}^2(\mathbb{Z}) = \mathcal{V}_0 \oplus^\perp \mathcal{W}_0$$



On itère :

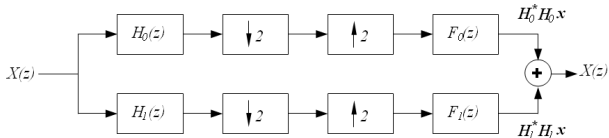
$$\left. \begin{aligned} \mathcal{L}^2(\mathbb{Z}) &= \mathcal{V}_0 \oplus^\perp \mathcal{W}_0 \\ \mathcal{V}_0 &= \mathcal{V}_1 \oplus^\perp \mathcal{W}_1 \\ \mathcal{V}_1 &= \mathcal{V}_2 \oplus^\perp \mathcal{W}_2 \\ &\dots \end{aligned} \right\} \Leftrightarrow \mathcal{L}^2(\mathbb{Z}) = \bigoplus_{i=0}^M \underbrace{\mathcal{W}_i}_{\text{détails}} \oplus^\perp \underbrace{\mathcal{V}_M}_{\text{approx.}}$$

## Cas du banc de filtres CQF

### Interprétation

Le banc de filtre CQF définit une décomposition en sous-espaces de  $\mathcal{L}^2(\mathbb{Z})$ .

$$\mathcal{L}^2(\mathbb{Z}) = \mathcal{V}_0 \oplus^\perp \mathcal{W}_0$$



On itère :

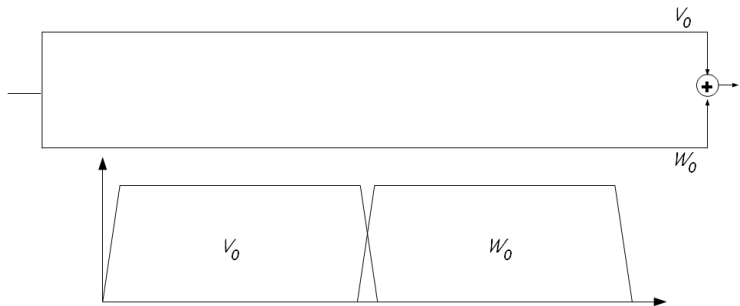
$$\left. \begin{aligned} \mathcal{L}^2(\mathbb{Z}) &= \mathcal{V}_0 \oplus^\perp \mathcal{W}_0 \\ \mathcal{V}_0 &= \mathcal{V}_1 \oplus^\perp \mathcal{W}_1 \\ \mathcal{V}_1 &= \mathcal{V}_2 \oplus^\perp \mathcal{W}_2 \\ &\dots \end{aligned} \right\} \Leftrightarrow \mathcal{L}^2(\mathbb{Z}) = \bigoplus_{i=0}^M \underbrace{\mathcal{W}_i}_{\text{détails}} \oplus^\perp \underbrace{\mathcal{V}_M}_{\text{approx.}}$$

## Cas du banc de filtres CQF

### Décomposition dyadique

$$\mathbf{x} = [x(0), \dots, x(15)]$$

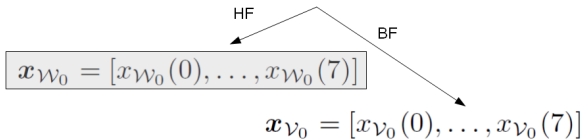
## Cas du banc de filtres CQF Décomposition dyadique



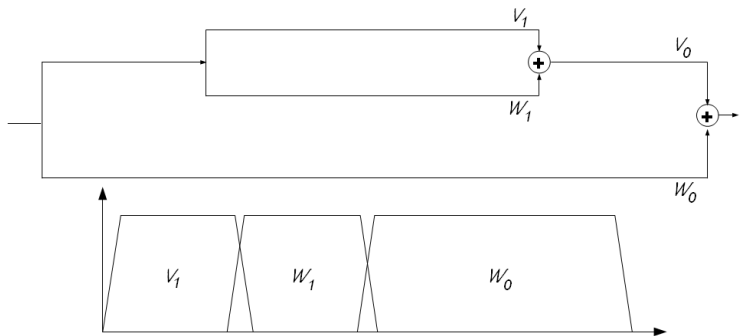
## Cas du banc de filtres CQF

### Décomposition dyadique

$$\mathbf{x} = [x(0), \dots, x(15)]$$



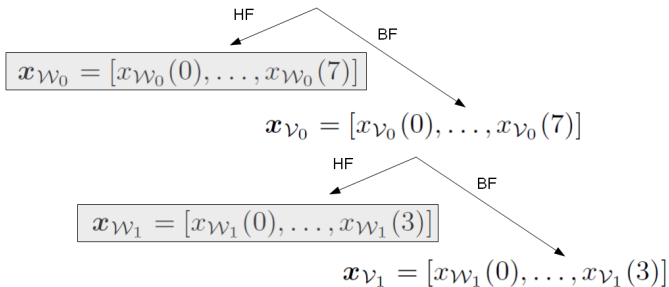
## Cas du banc de filtres CQF Décomposition dyadique



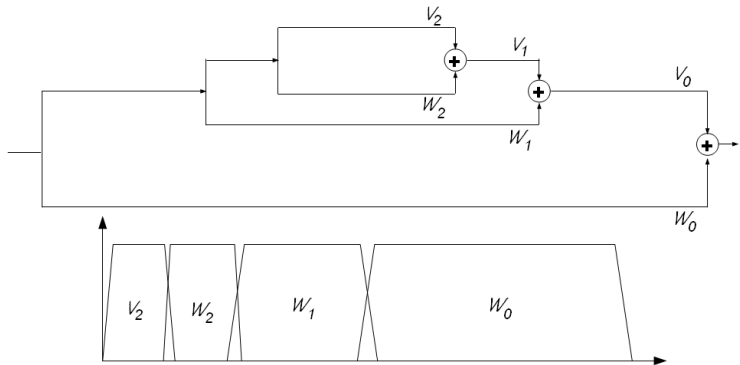
## Cas du banc de filtres CQF

## Décomposition dyadique

$$\mathbf{x} = [x(0), \dots, x(15)]$$



## Cas du banc de filtres CQF Décomposition dyadique

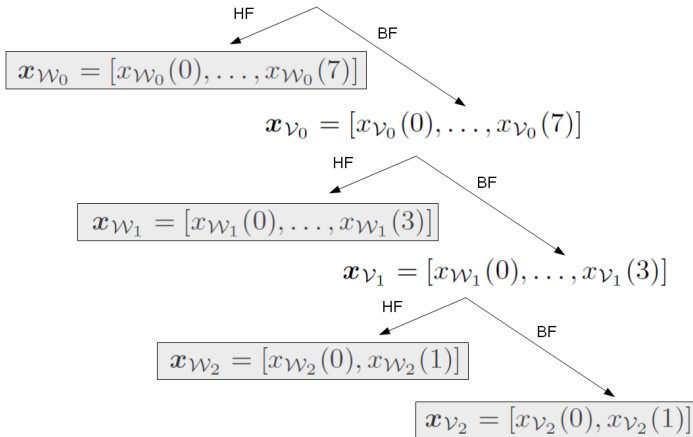




## Cas du banc de filtres CQF

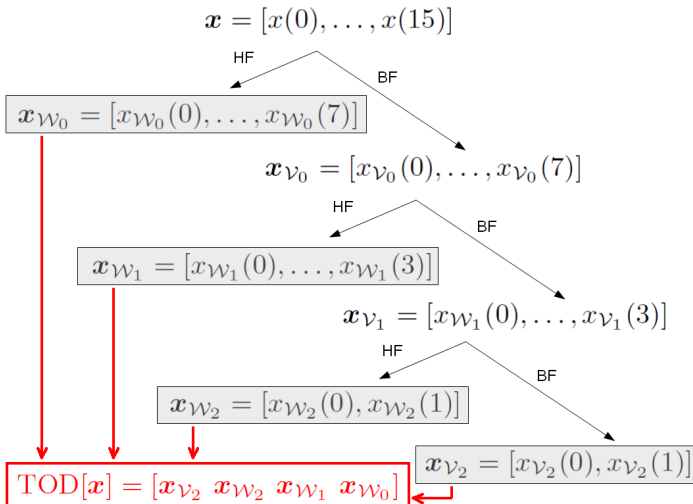
## Décomposition dyadique

$$\mathbf{x} = [x(0), \dots, x(15)]$$



## Cas du banc de filtres CQF

### Décomposition dyadique



# Traitement Numérique du Signal

## Méthodes Avancées

Nicolas Dobigeon

Université de Toulouse  
IRIT/INP-ENSEEIH

<http://www.enseeiht.fr/~dobigeon>  
[nicolas.dobigeon@enseeiht.fr](mailto:nicolas.dobigeon@enseeiht.fr)